

Chemie životního prostředí II – Znečištění složek prostředí Pedosféra

(03)

Půdotvorné faktory a procesy

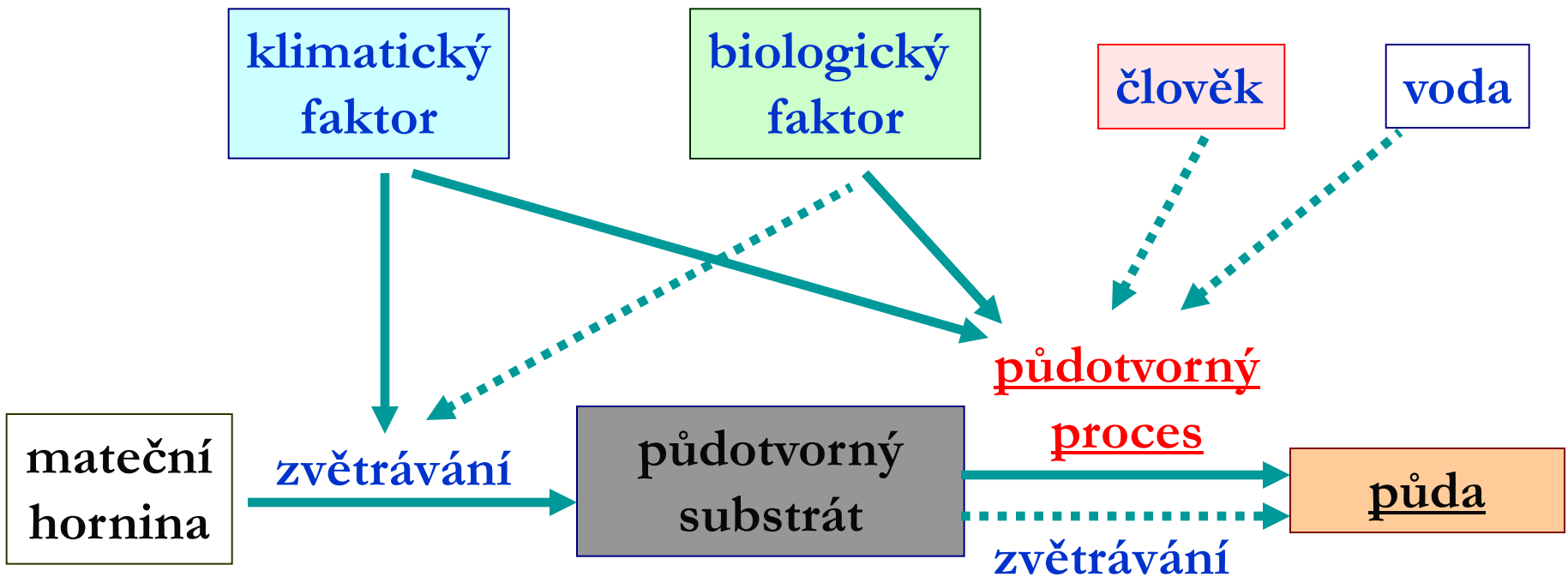
Ivan Holoubek

RECETOX, Masaryk University, Brno, CR

holoubek@recetox.muni.cz; <http://recetox.muni.cz>

Půdotvorný proces

- ↪ **Zvětrávání** (zejména kombinace mechanických a chemických procesů) vede ke vzniku půdotvorného substrátu a není ještě zahrnováno do půdotvorného procesu
- ↪ Půdotvorný proces zahrnuje významně činnost organismů



Podmínky půdotvorného procesu:

- čas (100' až 1000' let)
- reliéf (např. svah)

Pedosféra

Faktory a podmínky půdotvorného procesu:

Půda vzniká působením půdotvorných činitelů, které dělíme do dvou hlavních skupin:

- ↪ **půdotvorné faktory**
- ↪ **podmínky půdotvorného procesu**

Faktory působí při vzniku půd přímo, **podmínky** naopak přes svůj vliv na půdotvorné faktory.

Půdotvorné faktory

Substrát (matečná hornina)

- ↪ výchozí materiál pro vznik půdy, předmět přeměn probíhajících v půdě;
- ↪ petrologické složení substrátu ovlivňuje rychlost tvorby půdy (zvětrávání pevných hornin) a s tím související hloubku půdy a její zrnitostní složení, na kterém závisí fyzikální, fyzikálně-chemické, biologické i další půdní vlastnosti;
- ↪ chemismus při vývoji půd – obsah bází (Ca, Mg) – na jejich množství závisí rychlost vyluhování půdy; minerální síla substrátu – Ca, Mg, P, K;
- ↪ uhličitany Na, K, lehce rozpustné soli – sírany a chloridy – zasolení půd;

Půdotvorné faktory

Podnebí :

- ↪ **ovlivňuje směr, intenzitu a rychlost pochodů v půdě;**
- ↪ **na teplotě, množství a rozvržení srážek během roku závisí, zda dochází k vynášení látek vzlínající vodou (v suchém – aridním – klimatu převládá výpar) nebo k vyluhování (ve vlhkém – humidním – klimatu převládá infiltrace);**
- ↪ **podnebí (klimatický faktor) – určující faktor při tvorbě půd;**

Půdotvorné faktory

Biologický faktor

- ↪ vegetace (+ edafon) – dodavatel organické hmoty – výchozí materiál k tvorbě humusu;
- ↪ podstatně ovlivňuje mikrobiální život půdy, tím i hospodaření s živinami (zvláště N):
- ↪ lesní porosty – vytvářejí zpravidla jen malá množství hodnotného humusu (poměrně chudý kořenový systém dřevin, opad se hromadí na povrchu půdy, kde je mineralizován nebo se mění na surový humus) a silným okyselováním působí ve směru půdního vyluhování;
- ↪ původní stepní případně lesostepní porosty naopak svým rozvinutým kořenovým systémem podporují huminifikaci přímo v minerální hmotě půdy a akumulací minerálních látek spolupůsobí při odolnosti vůči vyluhování.

Půdotvorné faktory

Podzemní voda

- ↪ spolu s vodou povrchovou ovlivňuje celkové vláhové poměry v půdě;
- ↪ velký obsah vody vede k fyzikálně-chemickým a chemickým změnám a tím k uplatnění oglejení a nebo glejového procesu;
- ↪ vysoká vlhkost zpomaluje rozklad organických látek a podporuje jejich hromadění (rašelinění);
- ↪ spodní voda bohatá na rozpuštěné látky ale také může způsobovat zasolení;

Půdotvorné faktory

Vliv člověka:

↪ příznivý:

- ➔ zvyšuje hloubku prohumózněné vrstvy;
- ➔ zlepšuje fyzikální, fyzikálně-chemické a biologické vlastnosti půd;

↪ nepříznivé:

- ➔ kulturační činnost způsobuje úbytek humusu v proorávané vrstvě;
- ➔ vystavuje půdu účinkům eroze;
- ➔ kontaminuje půdu cizorodými látkami;

Podmínky půdotvorného procesu

Utváření terénu (reliéf) – ovlivňuje ostatní půdotvorné činitele:

- ↪ klima v závislosti na nadmořské výšce a expozici stanoviště (větší či menší oslunění);
- ↪ rozložení matečných substrátů;
- ↪ vodní režim území;
- ↪ ovlivnění intenzity infiltrace;
- ↪ rušivě – eroze, akumulace;

Čas (doba uplatnění půdotvorných pochodů) – stáří půdy – časový úsek, po který nerušeně působí soubor přibližně stejných půdotvorných procesů – projevuje se zralostí půd – čím je půda starší, tím je zpravidla půdní profil lépe vyhraněn.

Složky půdního systému

Abiotické:

- ↪ **tuhá fáze** – zbytky matečné horniny z větší části chemicky a fyzikálně přeměněné procesem zvětrávání; nejdůležitější anorganickou složkou jsou jílové minerály – výměna iontů, adsorpce; 35 – 45 % objemu půdy
- ↪ **kapalná fáze (půdní roztok)** – transport živin vegetaci, transport polutantů; 15 – 35 % objemu půdy
- ↪ **plynná fáze (půdní plyn)** – v podstatě stejné složení jako vzduch obohacený o CO₂, HCs a další produkty rostlinného a živočišného metabolismu, 15 – 35 % objemu půdy
- ↪ **humus** – půdní organická hmota - neživá biomasa v různém stupni rozkladu, 5 – 15 %

Složky půdního systému

Biotické:

- ↪ **edafon** – společenstvo všech mikroorganismů, rostlin a živočichů žijících v půdě
 - fytoedafon – bakterie, plísně, houby, sinice, řasy,
 - zoodafon – všechny formy živočichů od prvoků až po obratlovce
- ↪ **kořenový systém rostlin**

Suma živých organismů - < 0,1 %

Bio-organo-minerální komplex

Půdotvorné procesy

Zvětrávání – předchází vlastnímu vzniku půd a probíhá i během jejího vývoje – fyzikální a chemické změny probíhající při rozpadu horniny – podstatou je mechanický rozpad a chemická přeměna prvotních (primárních) minerálů v druhotné (sekundární), uvolňování bází, oxidů Fe a Al, kyseliny křemičité, tvorba jílu aj. – je silně ovlivněno klimatem a biologickým faktorem.

Humifikace – mikrobiální a chemické procesy, při kterých se mění organické zbytky v humus – probíhá ve větší či menší míře ve všech půdách a je tím nejvlastnějším půdotvorným pochodem, který podmiňuje vznik půdy.

Půdotvorné procesy

Eluviace – vyplavování, ochuzování – proces, při kterém dochází k přemístování jednotlivých půdních složek (ve formě roztoků nebo koloidních roztoků) prosakující vodou do spodních vrstev – podle intenzity se dělí dále na:

- ↪ **vyluhování** – posun rozpustných solí,
- ↪ **degradaci** – posun CaCO_3 ,
- ↪ **illimerizaci** – posun jílu,
- ↪ **podzolizaci** – posun sloučenin Fe a Al obvykle spolu s organickými látkami;
- ↪ (zvláštní forma – **slancování** – probíhá na zasolených půdách);

Iluviace – obohacování – opak eluviace – při ní se vyluhované součásti opět v určité vrstvě hromadí;

Půdotvorné procesy

Oglejení a glejový proces – probíhá v zamokřených půdách:

Oglejení:

- ↪ probíhá při periodickém převlhčování povrchovou vodou,
- ↪ typickým je střídání redukčních a oxidačních procesů při střídavém převlhčování a vysychání svrchních půdních vrstev,
- ↪ dochází při něm především k uvolňování sloučenin Fe a v období vyschnutí k jejich shlukování do nápadných kongrecí, tzv. železitých bročeků a jiných novotvarů,
- ↪ při silnějším oglejení vznikají charakteristické mramorované horizonty,
- ↪ znaků oglejení do hloubky obvykle ubývá,

Půdotvorné procesy

Glejový proces:

- ↪ probíhá při více méně trvale zvýšené hladině podzemní vody,
- ↪ redukce sloučenin Fe, př. Mn podmíněná nedostatkem vzduchu (anaerobní podmínky) při současném zvyšování organických látek a rozkladu prvotních minerálů vlivem vysoké půdní kyselosti,
- ↪ projevuje se zajičením, šedou, zelenavou nebo namodralou barvou zeminy, způsobenou přítomností Fe^{2+} ,
- ↪ při slabším uplatnění tohoto procesu dochází ke střídání redukčních a oxidačních procesů a ke vzniku rezavých skvrn,
- ↪ znaků glejového procesu do hloubky ubývá

Půdotvorné procesy

Solončakování – proces, při kterém jsou do půdního profilu vnášeny lehce rozpustné soli – sírany, uhličitany a chloridy jednomocných kationtů (Na) – v našich podmínkách jde nejčastěji o vynášení solí vzlínáním mineralizované podzemní vody v aridnějším klimatu

Slancování – vymývání solí z povrchových vrstev a jejich akumulace ve spodních vrstvách (spodině).

Zpravidla probíhá **současně několik půdotvorných procesů**, z nichž jeden se uplatňuje vedoucím způsobem – hlavní půdotvorný proces, ostatní se nazývají vedlejšími – uplatní-li se některý výrazněji – podřízený půdotvorný proces.

Půdotvorné procesy – vztahy mezi půdními organismy, půdní organickou hmotou a mateřskými horninami

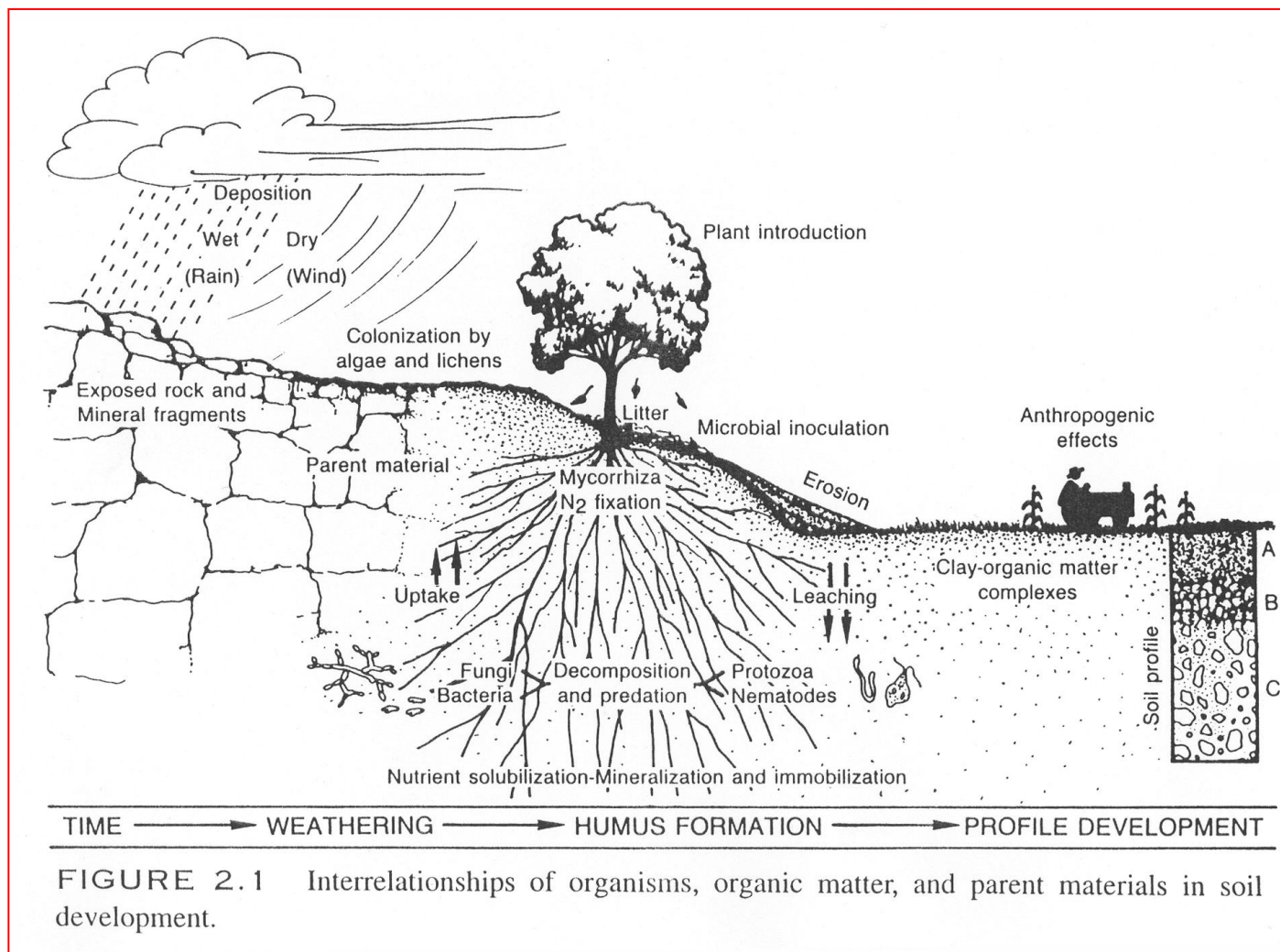


FIGURE 2.1 Interrelationships of organisms, organic matter, and parent materials in soil development.

Pedogeneze

Soubor vzájemně se podmiňujících a ovlivňujících se procesů, které se dají rozdělit do dvou skupin:

- ↪ Přeměna mateřské horniny a minerálů na půdotvorný substrát - zvětrávání
- ↪ Tvorba půdního profilu s mechanickou a chemickou diferenciací půdních složek – (pedogeneze)

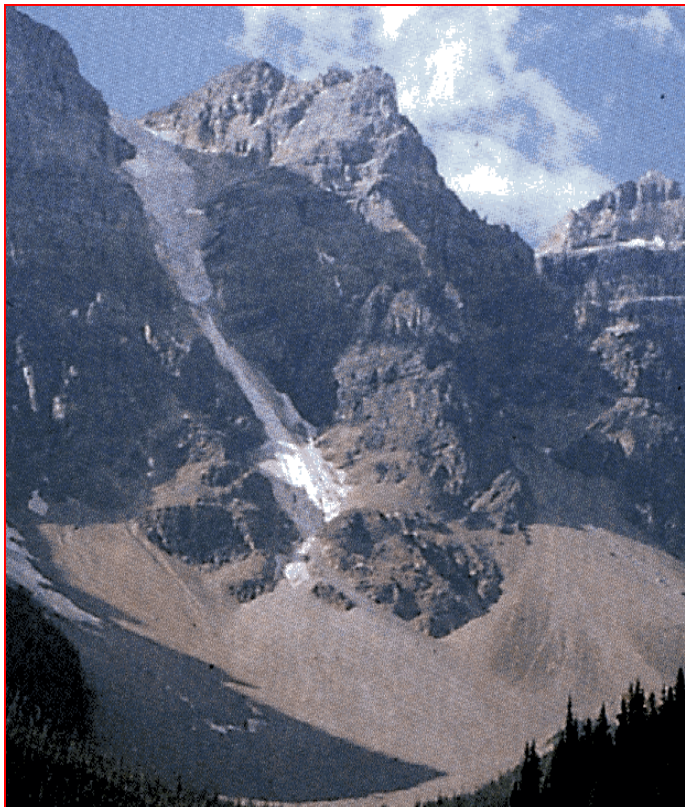
Zvětrávání

Zvětrávání – základní hypergenní proces na zemském povrchu probíhající v zóně interakce litosféry atmosféry, hydrosféry a biosféry, který vede k **dezintegraci a přeměně vyvřelých, metamorfovaných a sedimentárních hornin** vlivem mechanických, chemických a biologických procesů.

Předchází vlastnímu vzniku půd a probíhá i během jejího vývoje – **fyzikální a chemické změny** probíhající při rozpadu horniny – podstatou je mechanický rozpad a chemická přeměna prvotních (primárních) minerálů v druhotné (sekundární), uvolňování bází, oxidů Fe a Al, kyseliny křemičité, tvorba jílu aj. – je silně ovlivněno **klimatem a biologickým faktorem**.

Zvětrávání

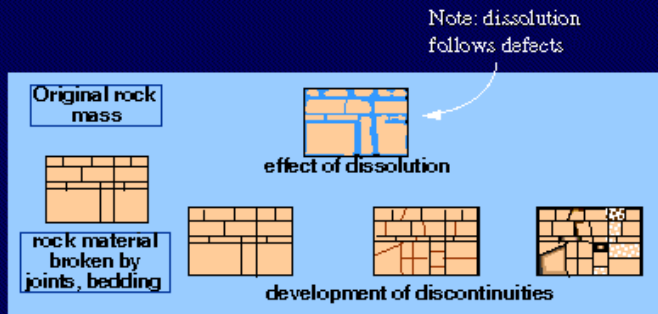
Zvětrávání – chemická a fyzikální degradace hornin na relativně jemné částice (půdy a sedimenty) a rozpuštěné látky, klíčový prvek exogenního geochemického cyklu



- ↪ salinita oceánů
- ↪ výživa pro biotu
- ↪ rudy
- ↪ transformace povrchu
- ↪ spotřeba H^+
- ↪ spotřeba CO_2

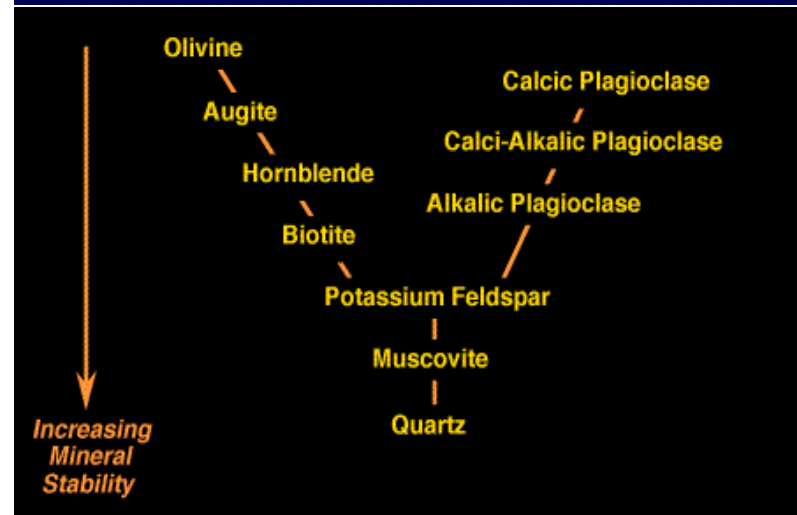
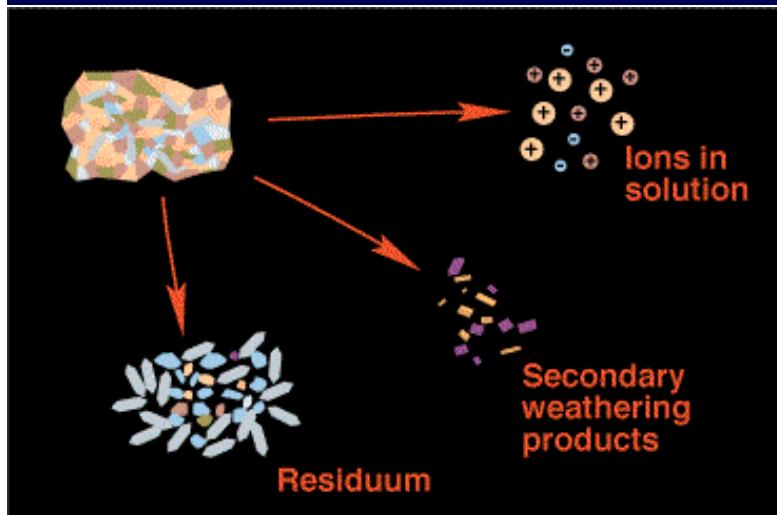
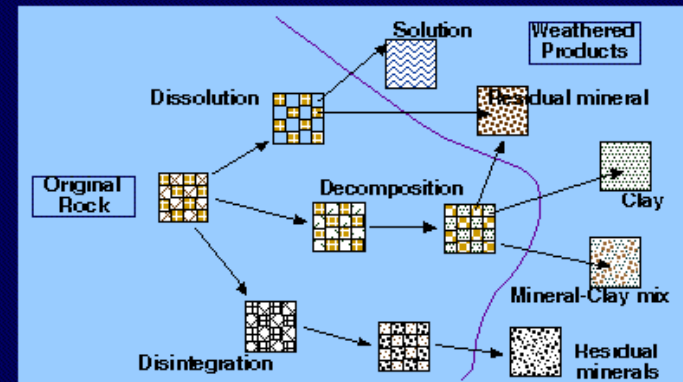
Zvětrávání

Continued disruption of rock material



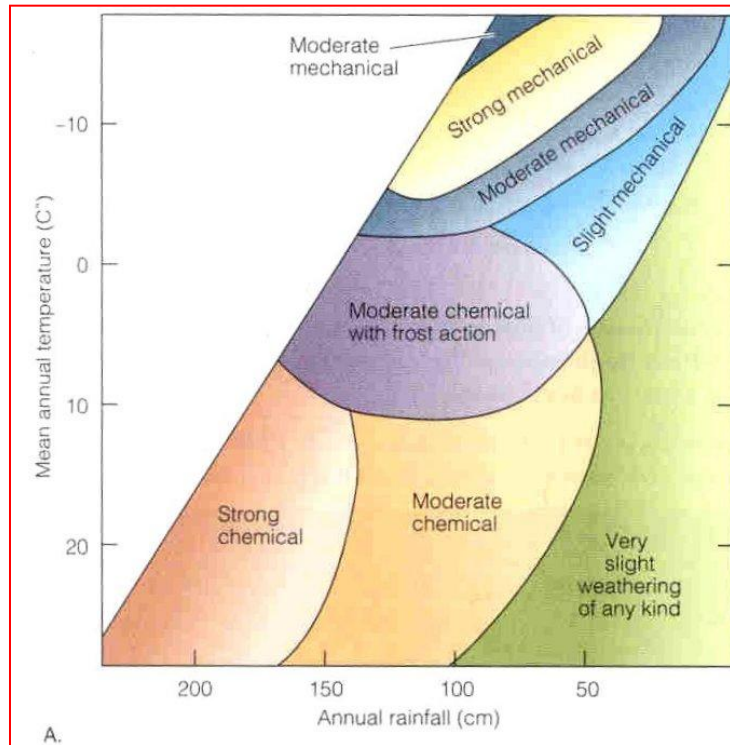
Physical breakdown extends, broadens original defects

Weathering effect on rock material



Faktory ovlivňující zvětrávání

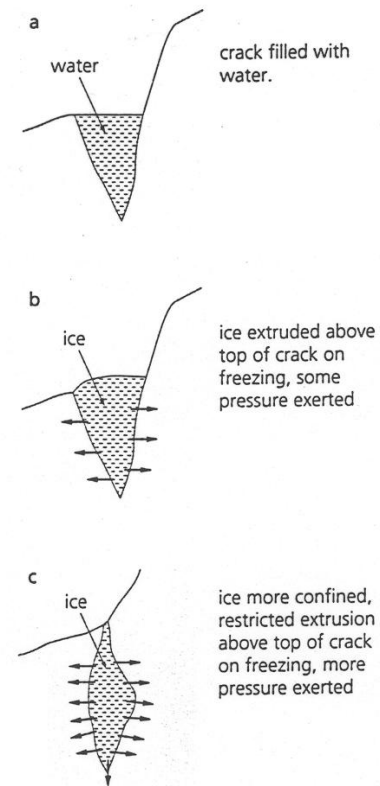
- ↺ Typ a struktura horniny
- ↺ Sklon svahů
- ↺ Klima
- ↺ Hrabavá zvířata, hmyz, červi
- ↺ Charles Darwin – červi – $2,5 \text{ kg}\cdot\text{m}^{-2}$
- ↺ Čas



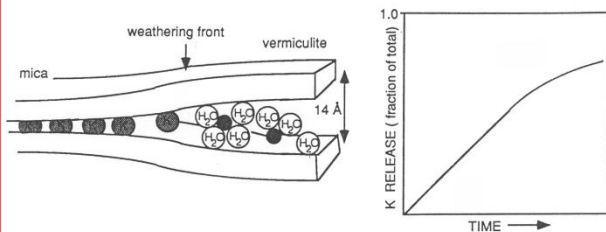
Faktory ovlivňující zvětrávání

Table 6.7 A classification of different weathering processes

Type of weathering	Factor involved	Process
Disintegration	Crystallisation Temperature change	Salt weathering, frost weathering Insolation weathering (heating and cooling), fire, expansion of dirt in cracks
Decomposition	Wetting and drying (especially of shales) Pressure release by erosion of overlying material Organic processes	Root wedging
	Biological-chemical changes	Hydration and hydrolysis oxidation and reduction solution and carbonation chelation Organic weathering



EDGE WEATHERING



LAYER WEATHERING

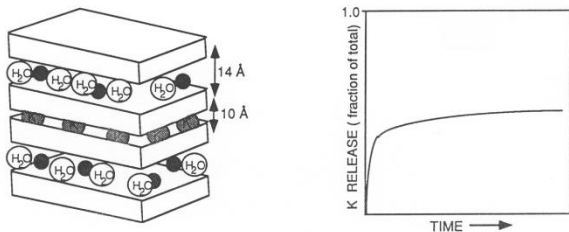


Figure 6.4. Schematic picture of edge weathering of large mica particles and layer weathering of small mica particles.

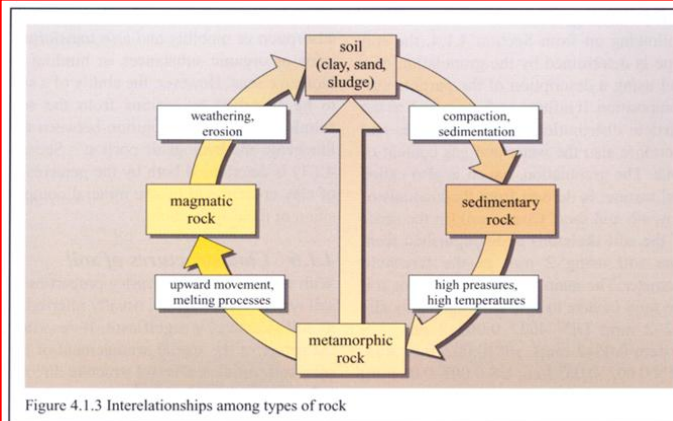


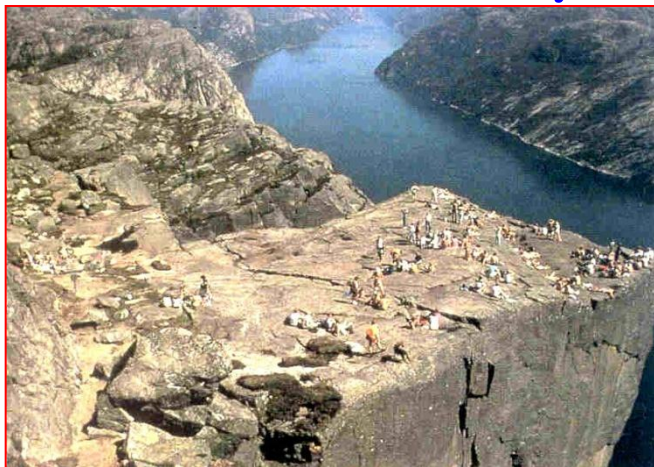
Figure 4.1.3 Interrelationships among types of rock

Figure 6.5 Frost weathering of rocks

Mechanické zvětrávání



Zvětrávání bazaltové lávy na Hawaii



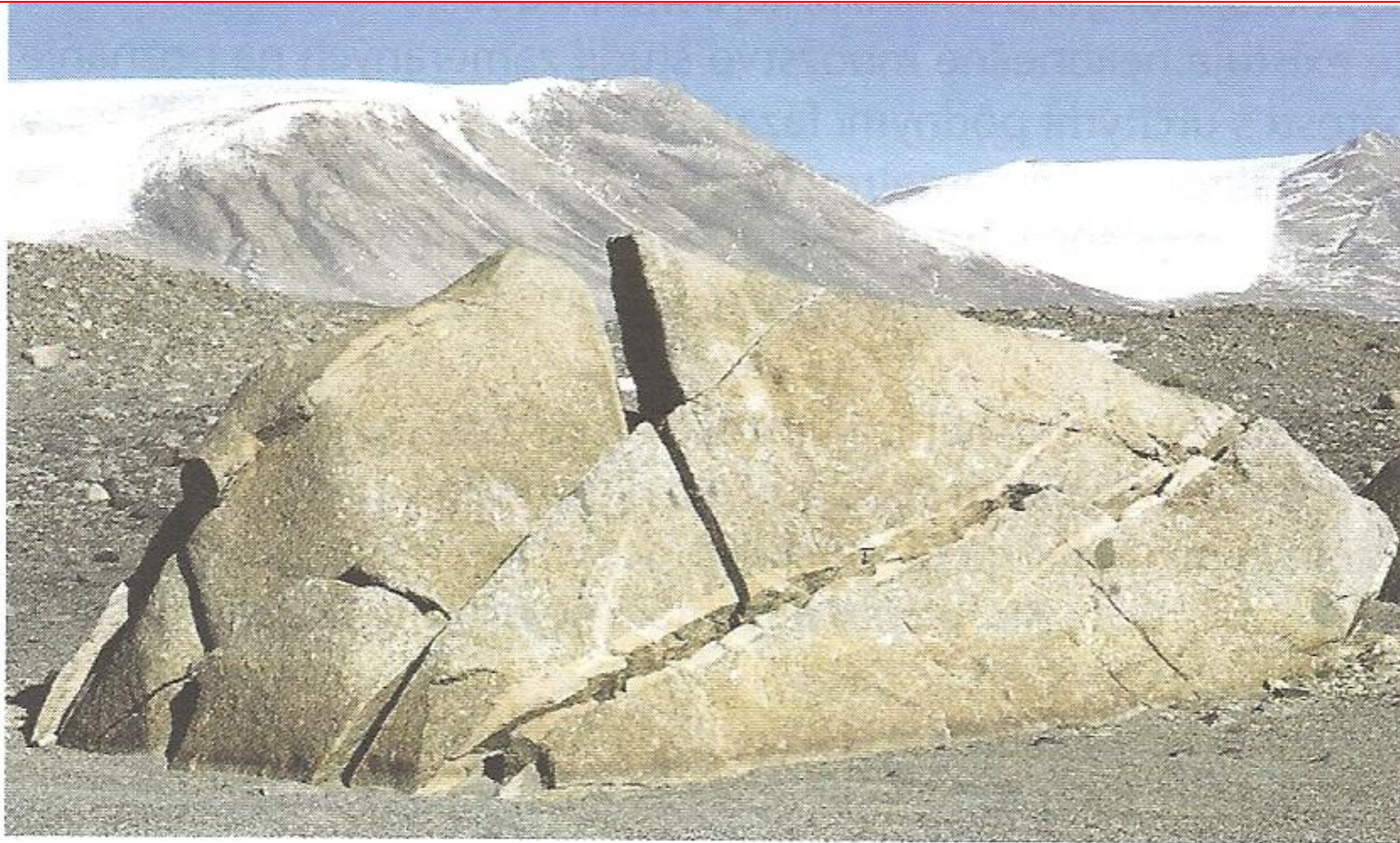
Pulpit, Lysefjord, severní Norsko

- ↙ Mrazové štípání
- ↙ Růst krystalů
- ↙ Působení tepla
- ↙ Kořeny rostlin



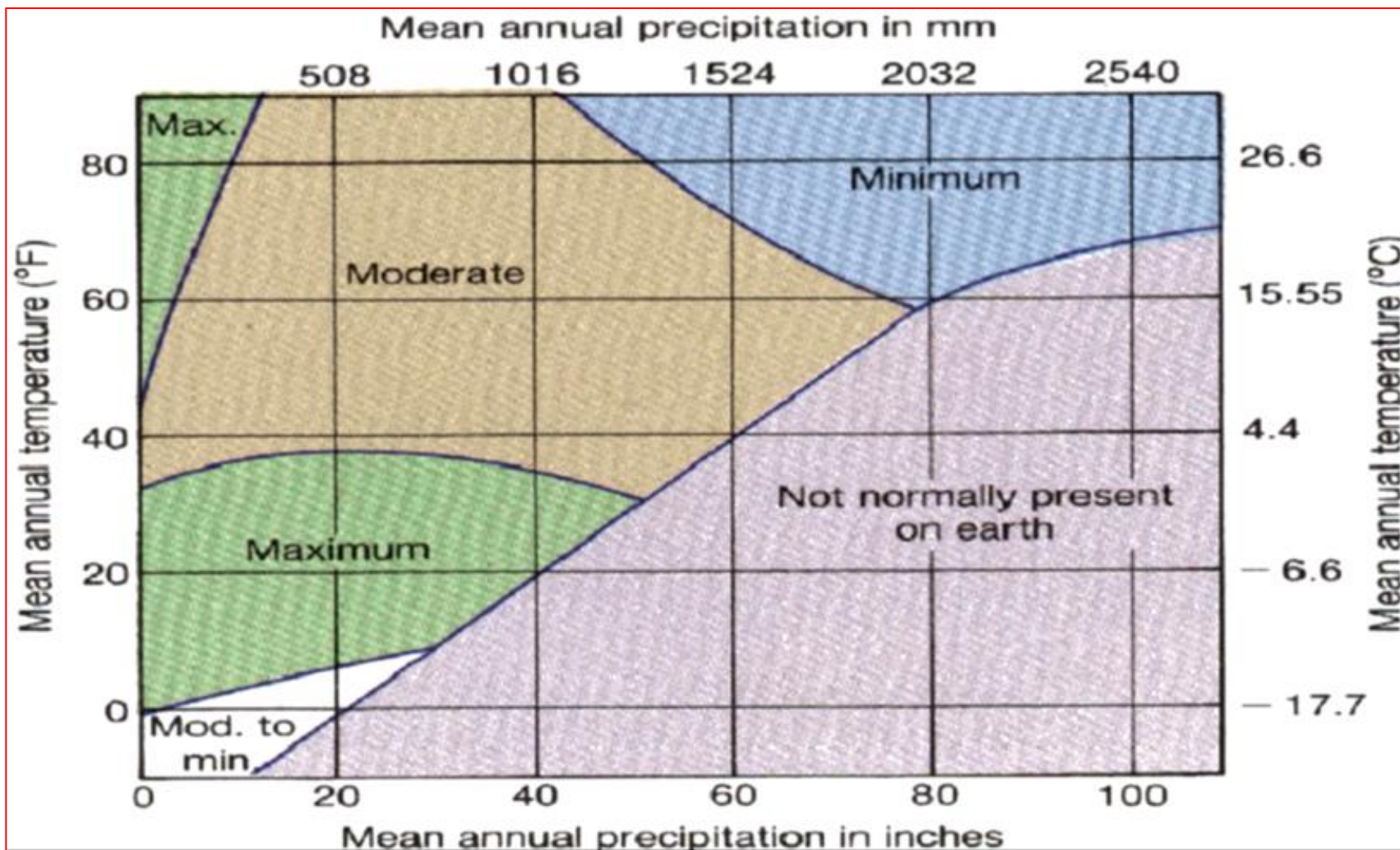
Mount Whitney, Sierra Nevada

Mechanické zvětrávání – vlivu mrazu



Prejavy mrazového zvetrávania hornín vo vysokohorských podmienkach

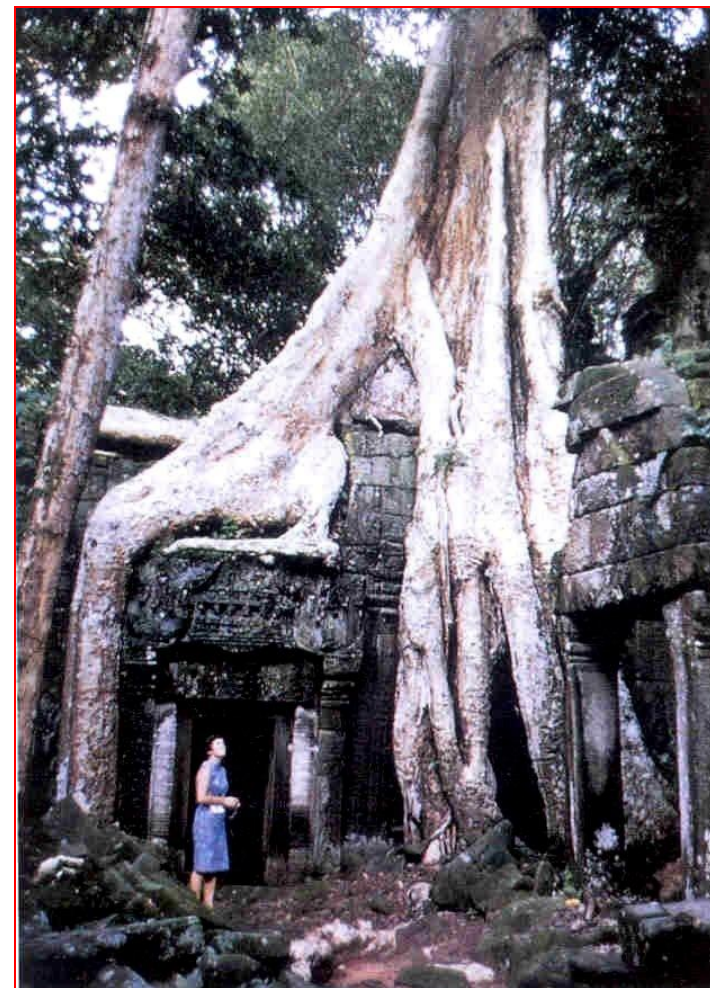
Rychlost fyzikálního zvětrávání



Mechanické zvětrávání



Yellowstone National Park



Ta Prohm u Angkoru, Kambodža

Biologické zvětrávání

- ↪ Kořenové systémy mechů, lišejníků a rostlin – tvorba puklin, působení exkrudátů – zpřístupnění mechanickému a chemickému vlivu
- ↪ Ovlivňují pH a vlhkostní režim – urychlení zvětrávání
- ↪ Kombinovaný mechanický a chemický efekt

Chemické zvětrávání

↪ Voda, kyslík, oxid uhličitý

↪ Hydrolyza

↪ Hydratace

↪ Oxidace

↪ Vyluhování



Oxidovaná půda na Havaii

Chemické zvětrávání

↪ Prosté zvětrávání (určeno součinem rozpustnosti)

↪ Rozpouštění karbonátů:



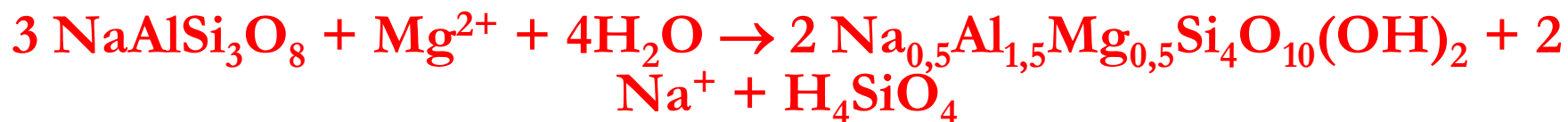
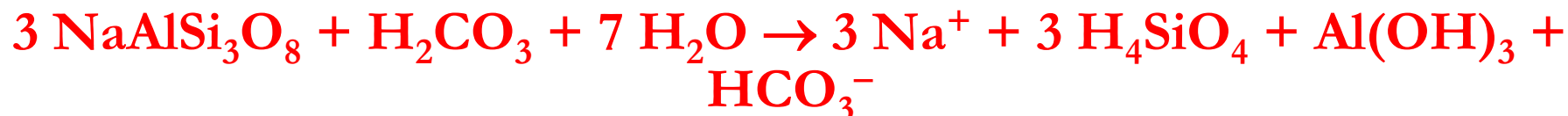
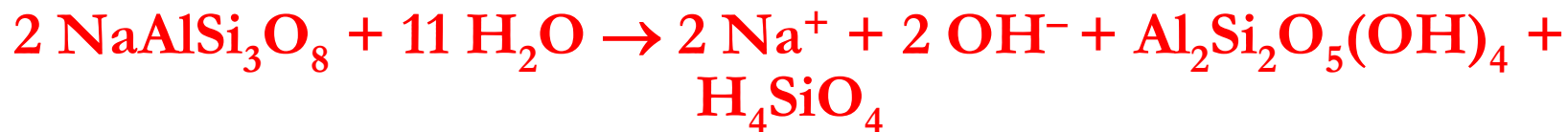
↪ Oxidace:



↪ Hydrolyza:



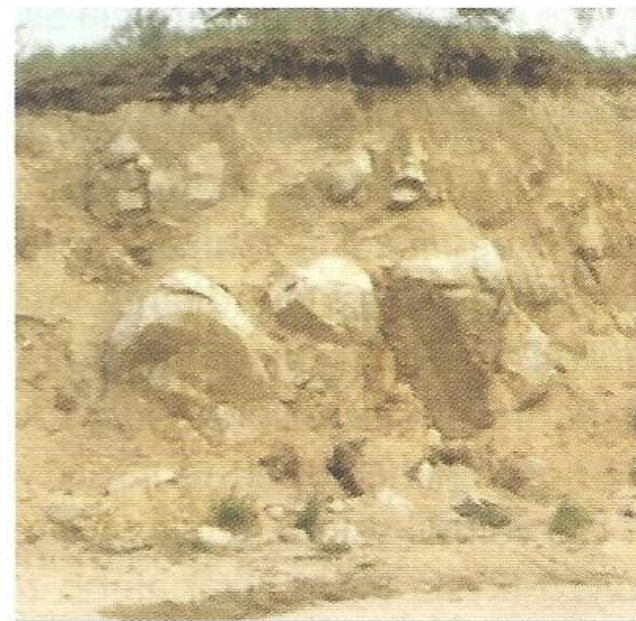
Chemické zvětrávání



Chemické zvětrávání



a)



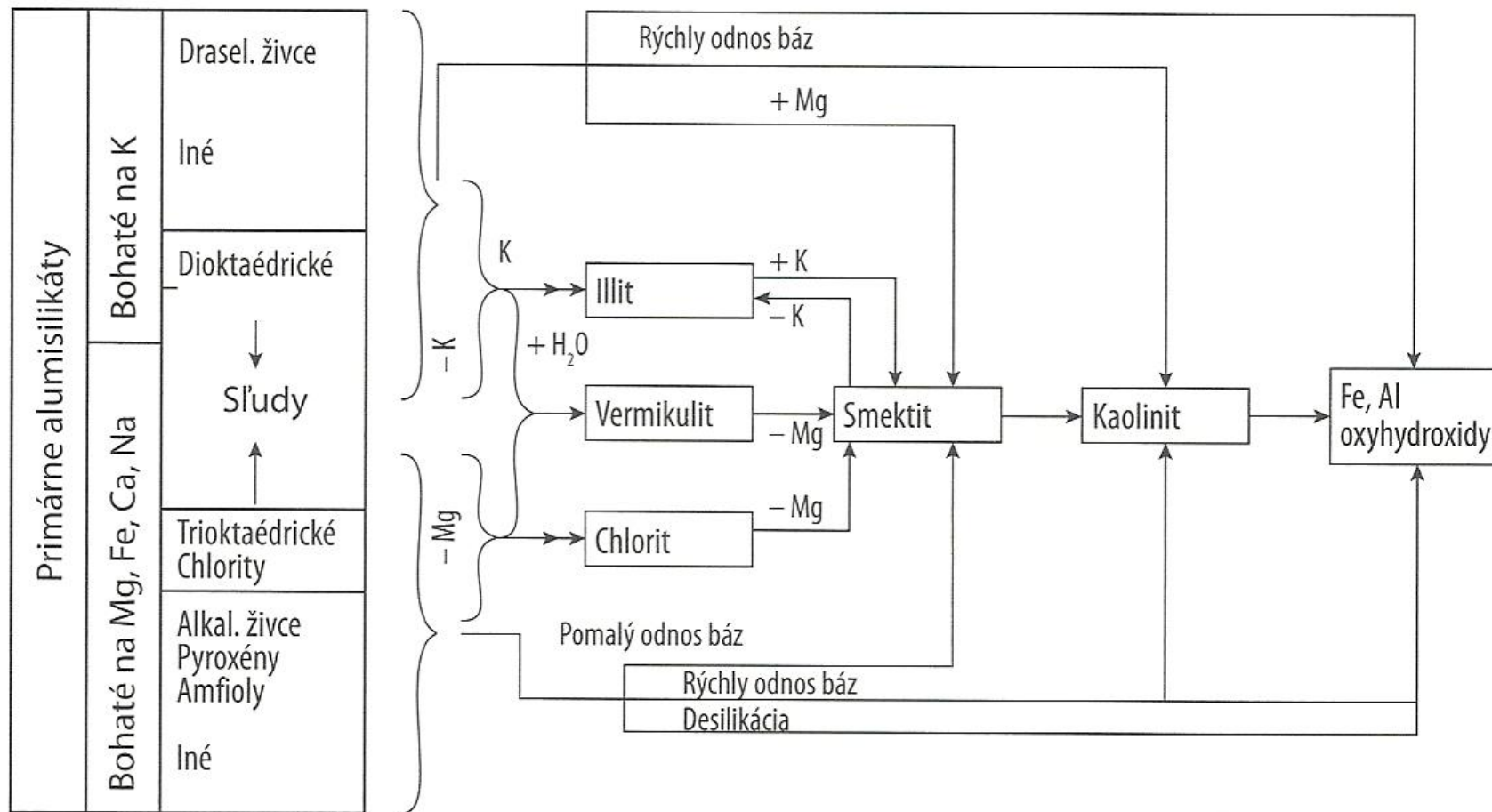
b)

Obr. 5.3.

a) Selektivne rozpúšťanie menej odolných hornín.

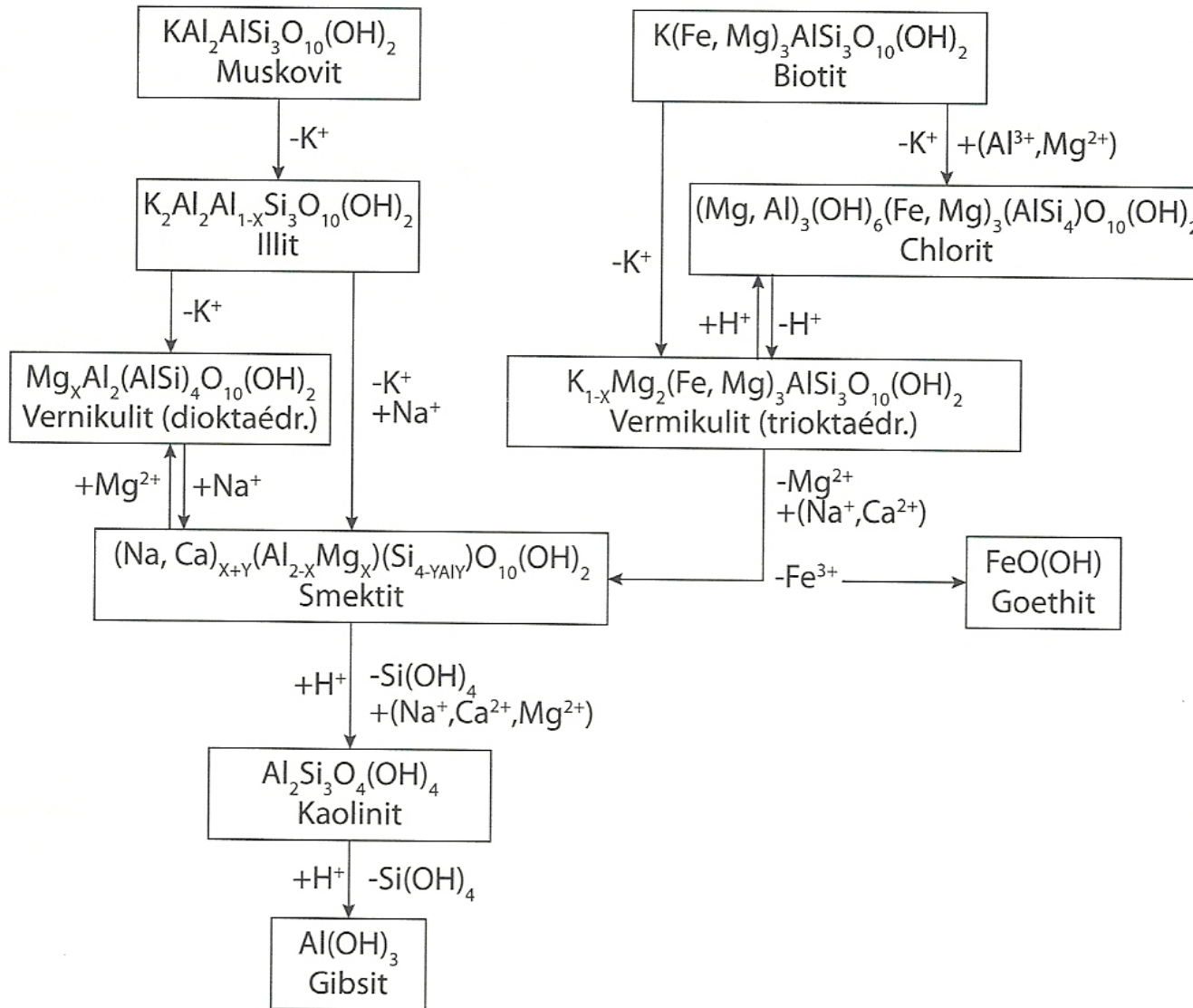
b) Selektivne zvetrávanie pozdĺž puklín v granitoidných hornín a tvorba balvanitých produktov zveranín

Chemické zvětrávání



Obr. 5.6. Premeny primárnych minerálov pri procesoch zvetrávania (Podľa: Brady, 1990)

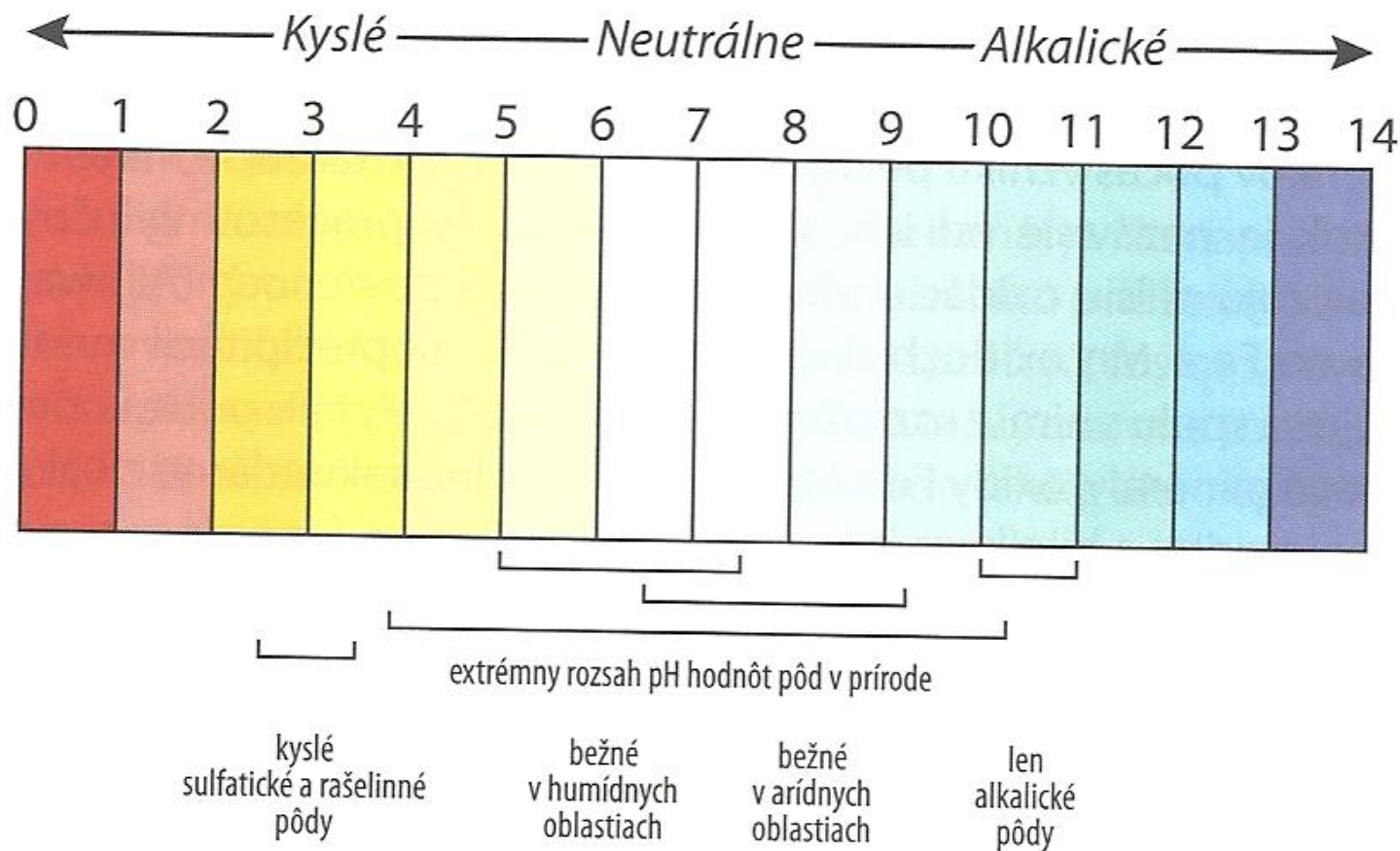
Chemické zvětrávání



Obr. 5.7. Možné chemické premeny slúd pri zvetrávaní (Podľa: Sparksa, 1996)



pH – nejdůležitější chemická charakteristika půd



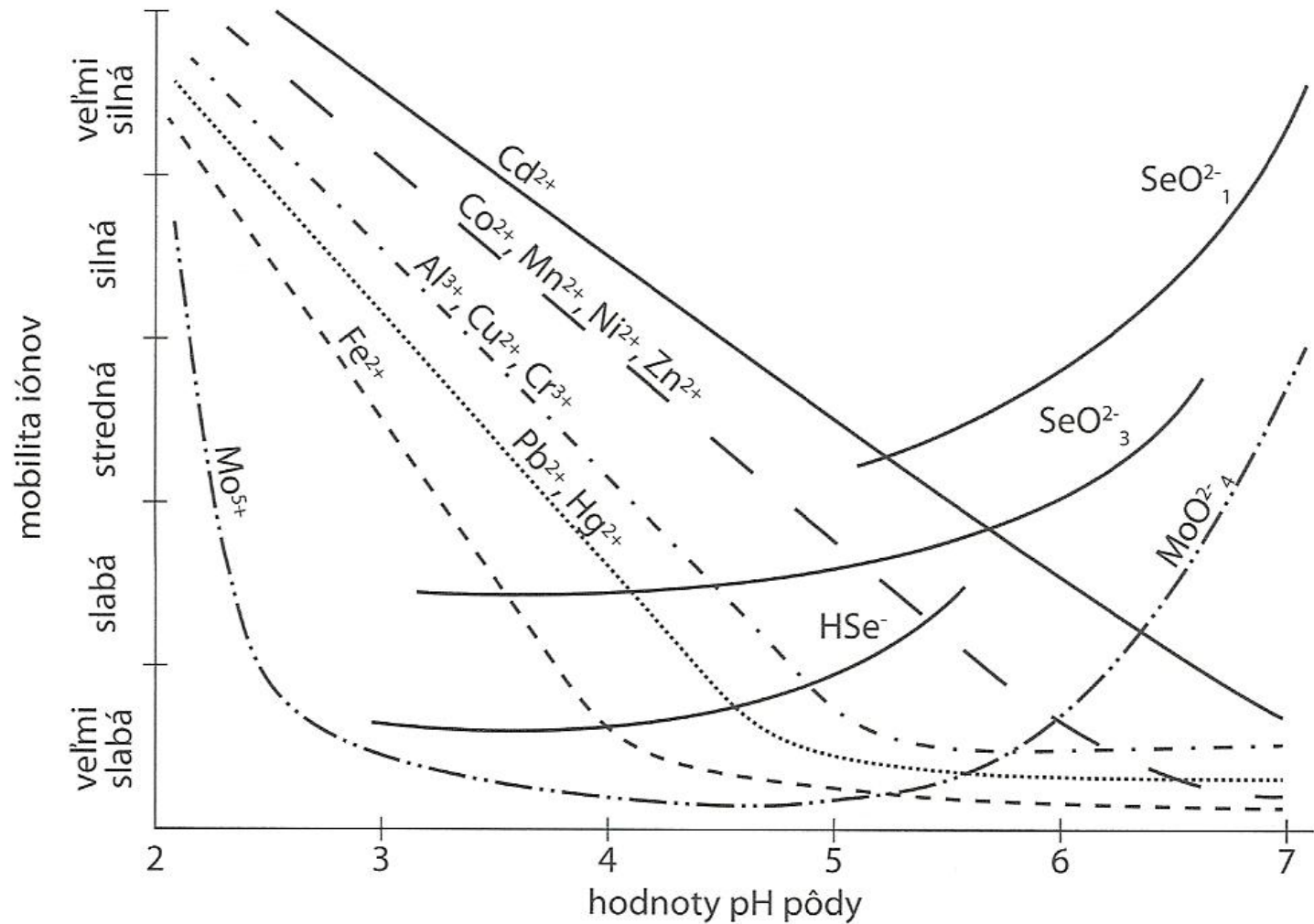
Pôdna reakcia, jej hodnotenie a rozsahy hodnôt v jednotlivých podmienkach

Mobilita prvků v půdách v závislosti na hodnotě pH

Pohyblivost prvků v závislosti na pH:

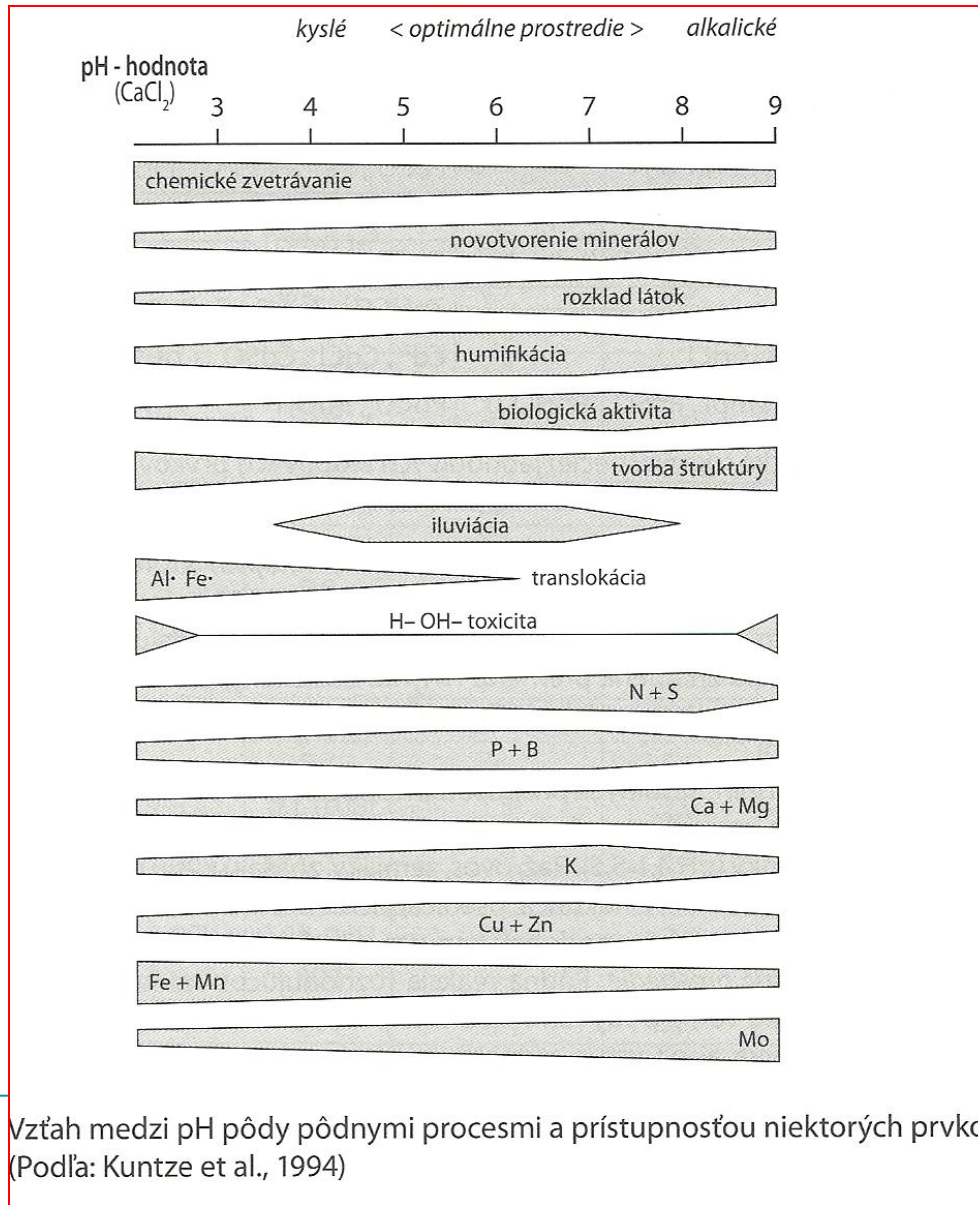
- ↪ **Kyselé oxické prostředí – pH < 3 – velmi pohyblivé** - Cd, Co, Cu, Ni, Zn; pohyblivé – Hg, Mn, Re, Zn; ostatní slabě pohyblivé nebo nepohyblivé
- ↪ **Oxidační prostředí bez obsahu Fe v půdních složkách – pH > 5,5 – velmi pohyblivé** – Cd, Zn; pohyblivé - Mo, Re, Se, Sr, Te, V; nepatrně pohyblivé – ostatní
- ↪ **Oxidační prostředí s půdními částicemi s obsahem Fe – pH > 5 – žádné nejsou velmi pohyblivé; Cd a Zn – pohyblivé; ostatní slabě až nepatrně pohyblivé**
- ↪ **Redukční prostředí bez H₂S - pH > 5 – žádné nejsou velmi pohyblivé; pohyblivé – Cd, Cu, Fe, Mn, Pb, Sr, Zn; ostatní slabě až nepatrně pohyblivé**
- ↪ **Redukční prostředí s H₂S - pH > 5 – žádné nejsou velmi pohyblivé; Mn, Sr – pohyblivé; ostatní – slabě až nepatrně**

Mobilita prvků v půdách v závislosti na hodnotě pH



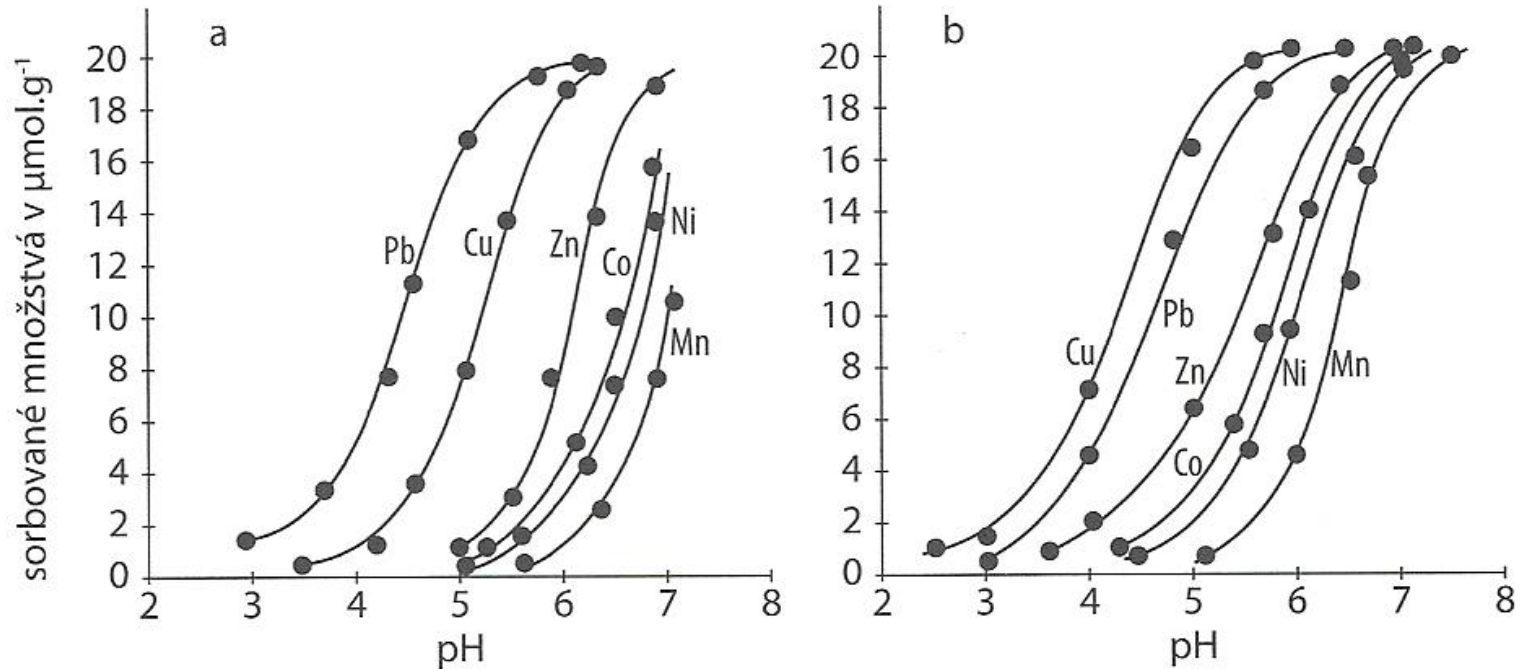
Obr. 5.9. Schematický trend mobility prvkov v pôde v závislosti od hodnôt pH (podľa Kabata- Pendias a Pendias, 2001)

Chemické zvětrávání



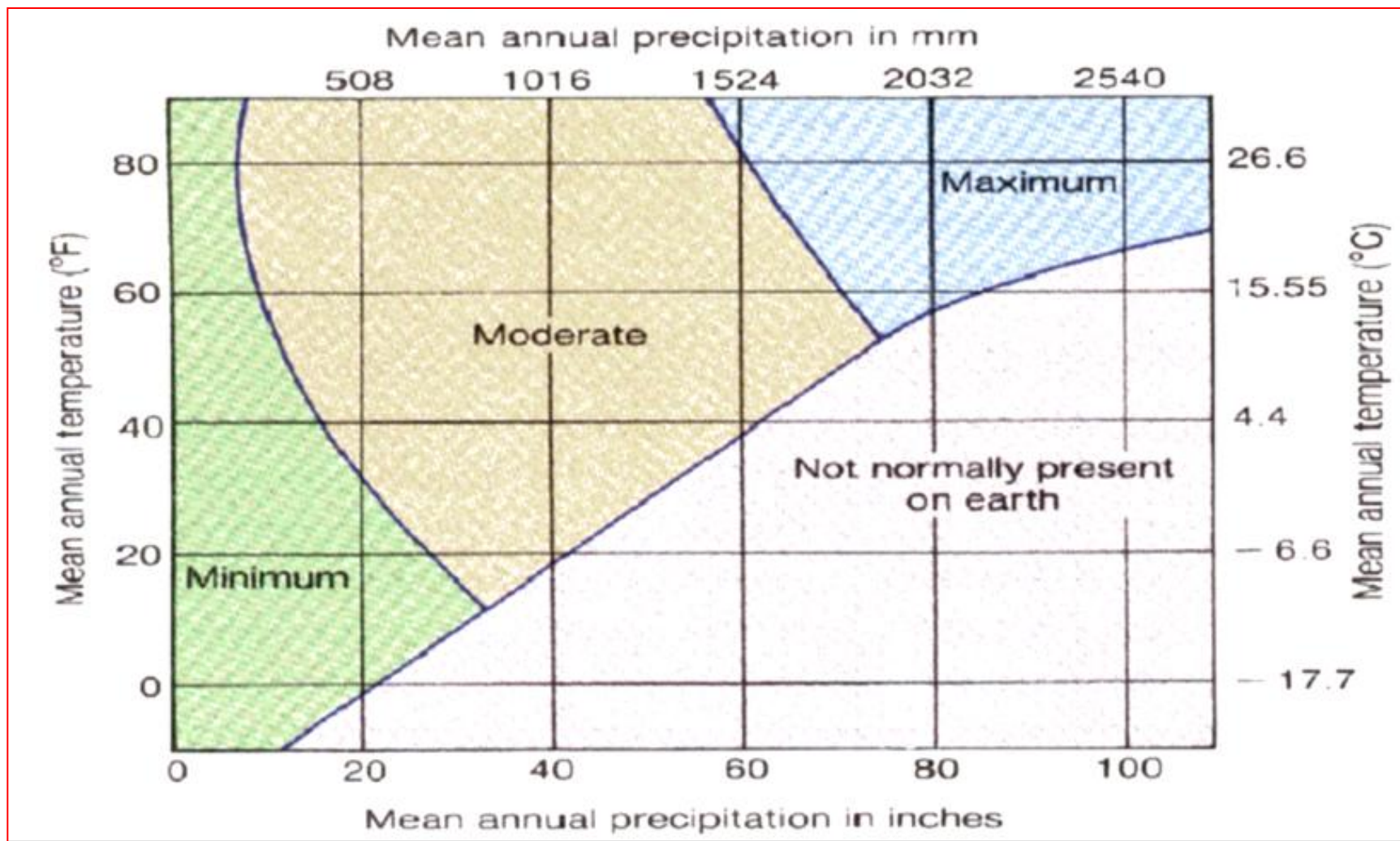
Vzťah medzi pH pôdy pôdnymi procesmi a prístupnosťou niektorých prvkov
(Podľa: Kuntze et al., 1994)

Chemické zvětrávání



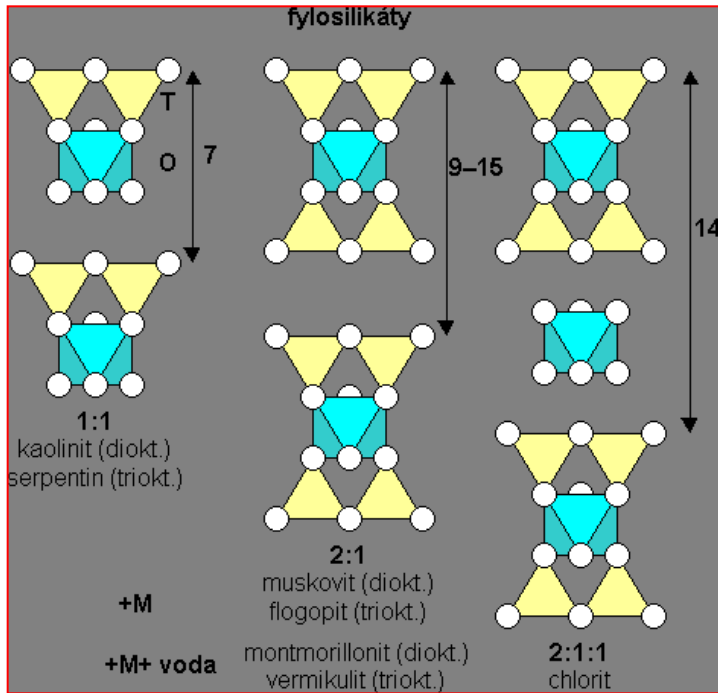
Obr. 5.11. Adsorpcia vybraných stopových prvků na pevných povrchoch v závislosti o pH hodnôt. Významné zmeny môžu nastať pri malom rozpätí hodnôt (Podľa Sparks, 1999)

Rychlost chemického zvětrávání

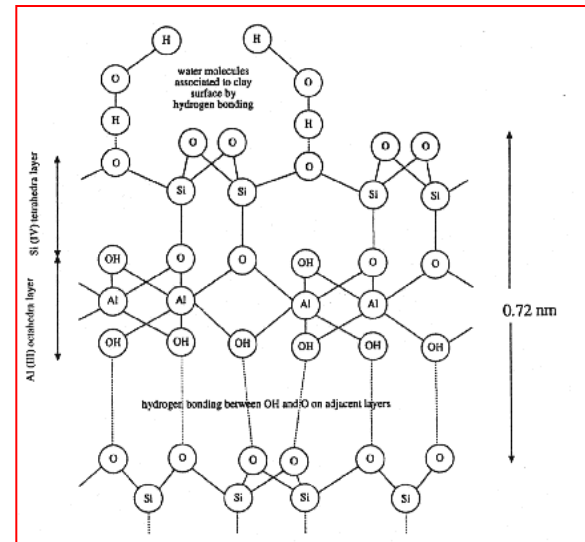


Zvětrávání

Zvětráváním horninotvorných minerálů vznikají jílové minerály: Variabilní zastupování Si^{4+} ionty Al^{3+} , nábojová nevyrovnanost vrstev, kompenzována dalšími ionty, vyměnitelné kationty, výměnná kapacita



Skupina	Obecný vzorec
Montmorillonit	$\text{Al}_2(\text{OH})_2\text{Si}_4\text{O}_{10}$
Illit	$\text{K}_{0-2}\text{Al}_4(\text{Si}_{8-6}\text{Al}_{0-2})\text{O}_{20}(\text{OH})_4$
Kaolinit	$\text{Al}_2\text{Si}_2\text{O}_5(\text{OH})_4$



Vznik, transformace a rozklad jílových minerálů

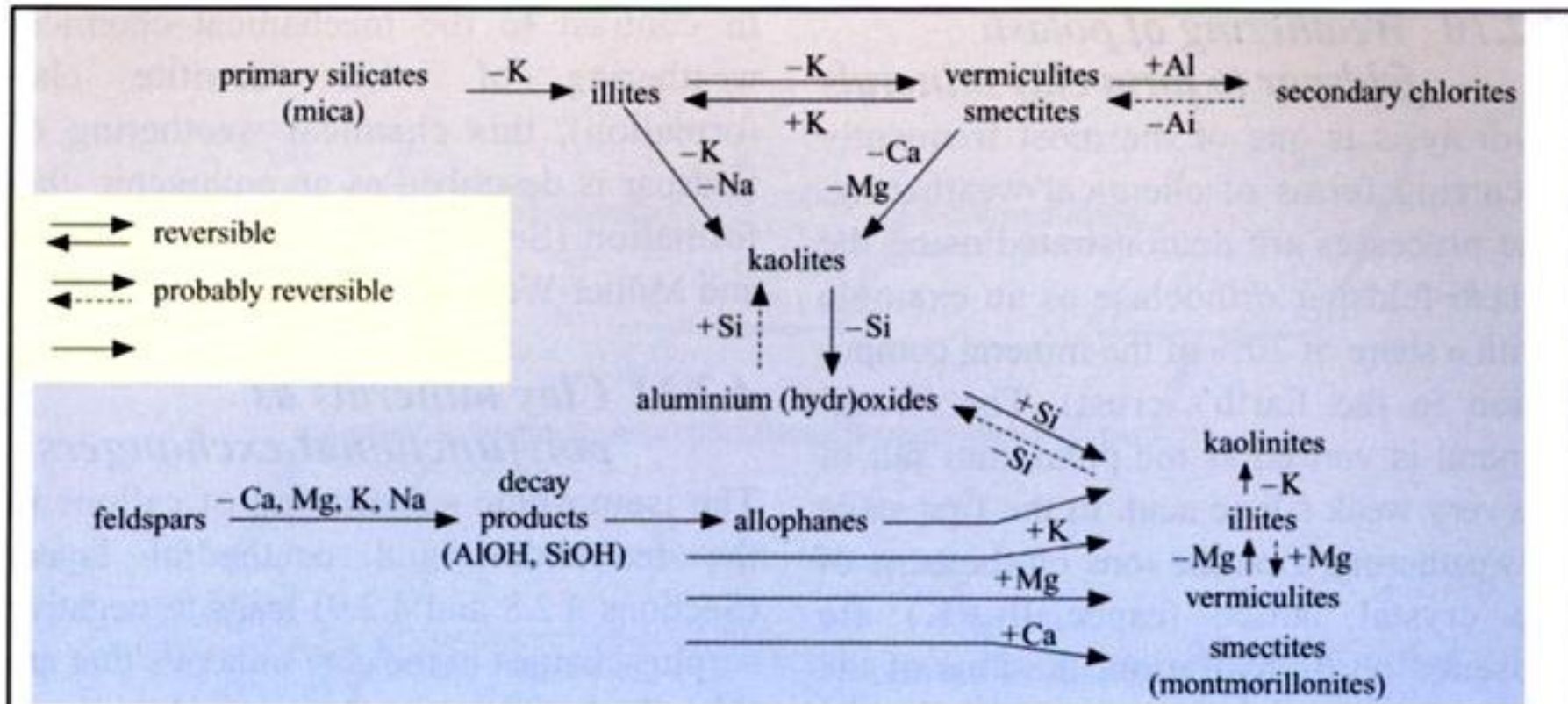


Figure 4.2.7 Formation, transformation and decomposition of clay minerals

Strukturní typy silikátů a jílových minerálů








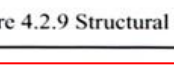
Structure	Formula	Description	Si-O ratio
	SiO_4^{4-}	orthosilicates	0.25
	$\text{Si}_2\text{O}_7^{6-}$	disilicates	0.29
	$\text{Si}_3\text{O}_6^{6-}$ $\text{Si}_6\text{O}_{18}^{12-}$	cyclosilicates	0.33
	$(\text{SiO}_3^{2-})_n$	pyroxenes	0.33
	$(\text{Si}_4\text{O}_{11}^{6-})_n$	amphiboles	0.36
	$(\text{Si}_4\text{O}_{10}^{4-})_n$	phyllosilicates	0.40
	$(\text{Si}_{4-x}\text{AB}_x\text{O}_8)_n$	3D structures (tectosilicates)	< 0.50
	$(\text{SiO}_2)_n$	kieselguhr	0.50

Figure 4.2.9 Structural types of silicates

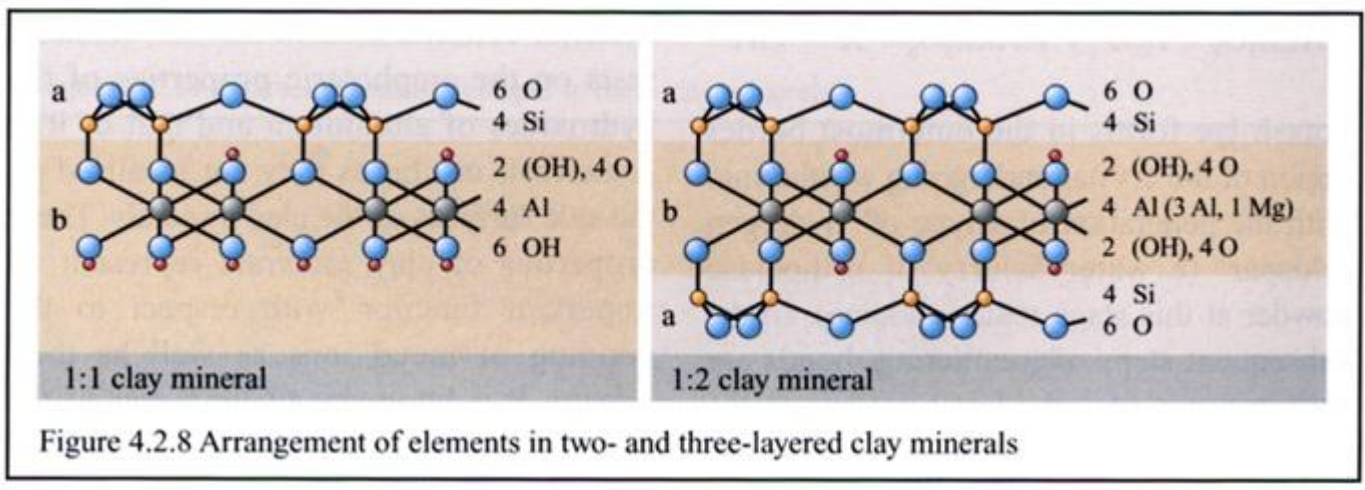
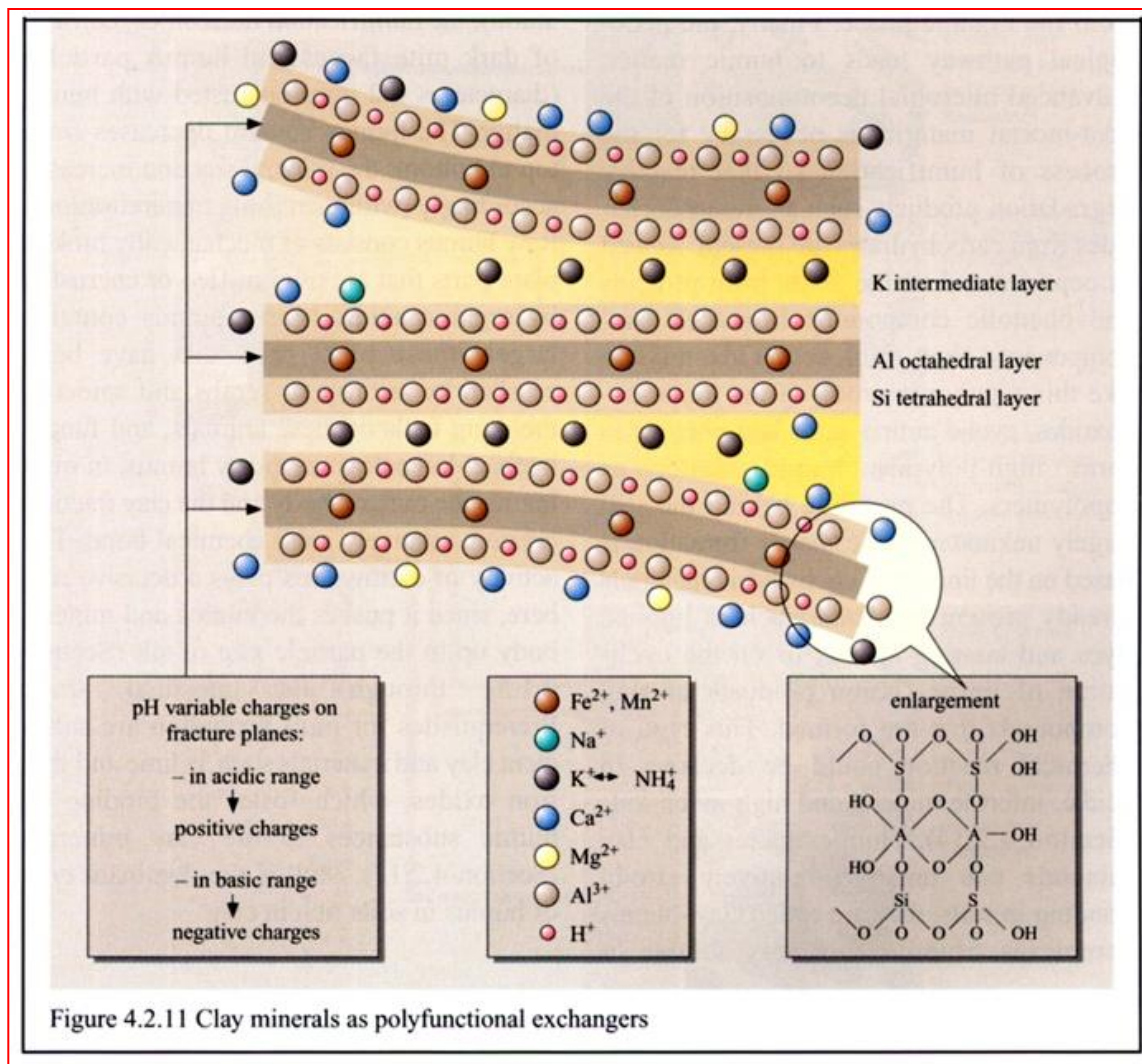
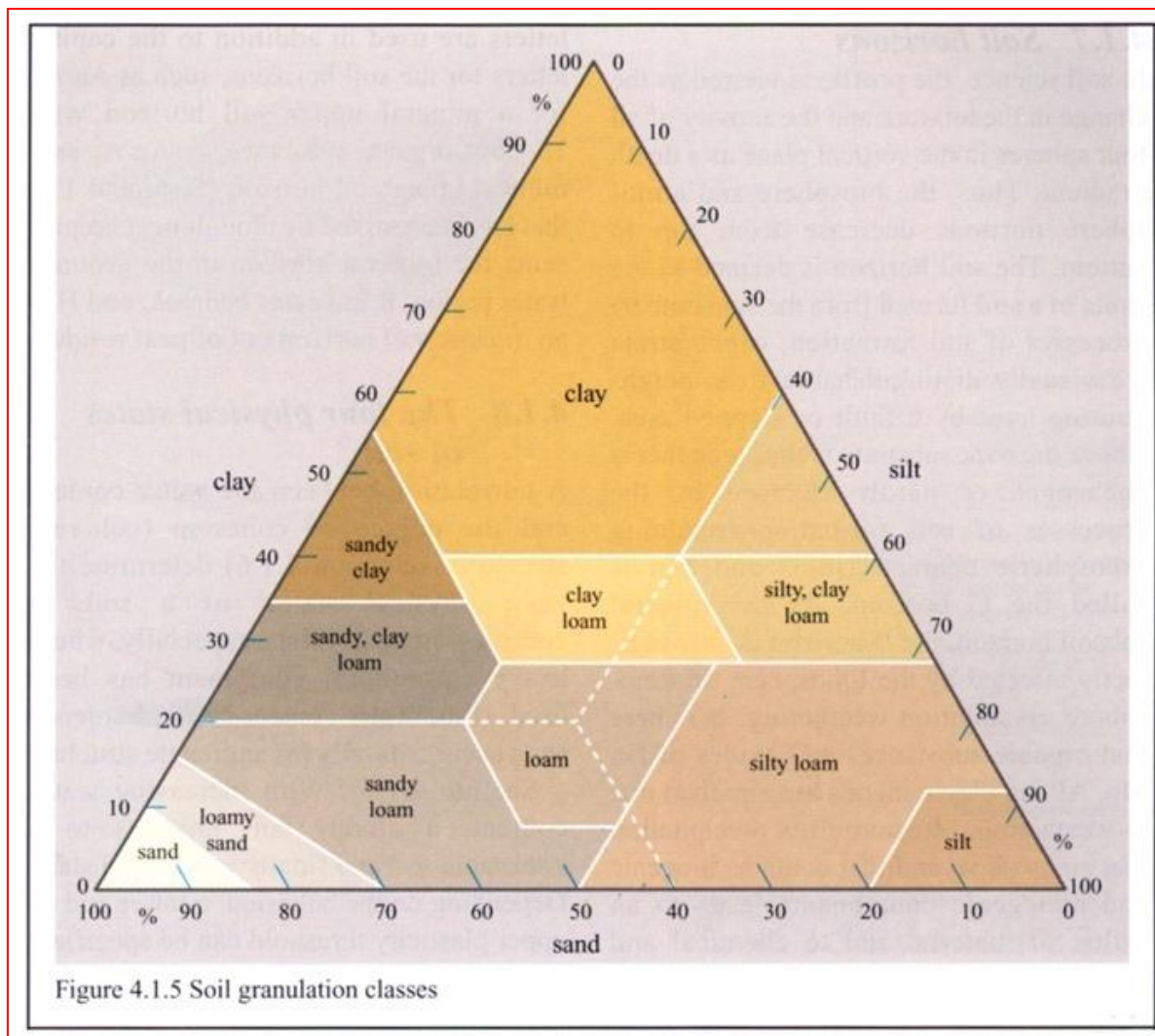


Figure 4.2.8 Arrangement of elements in two- and three-layered clay minerals

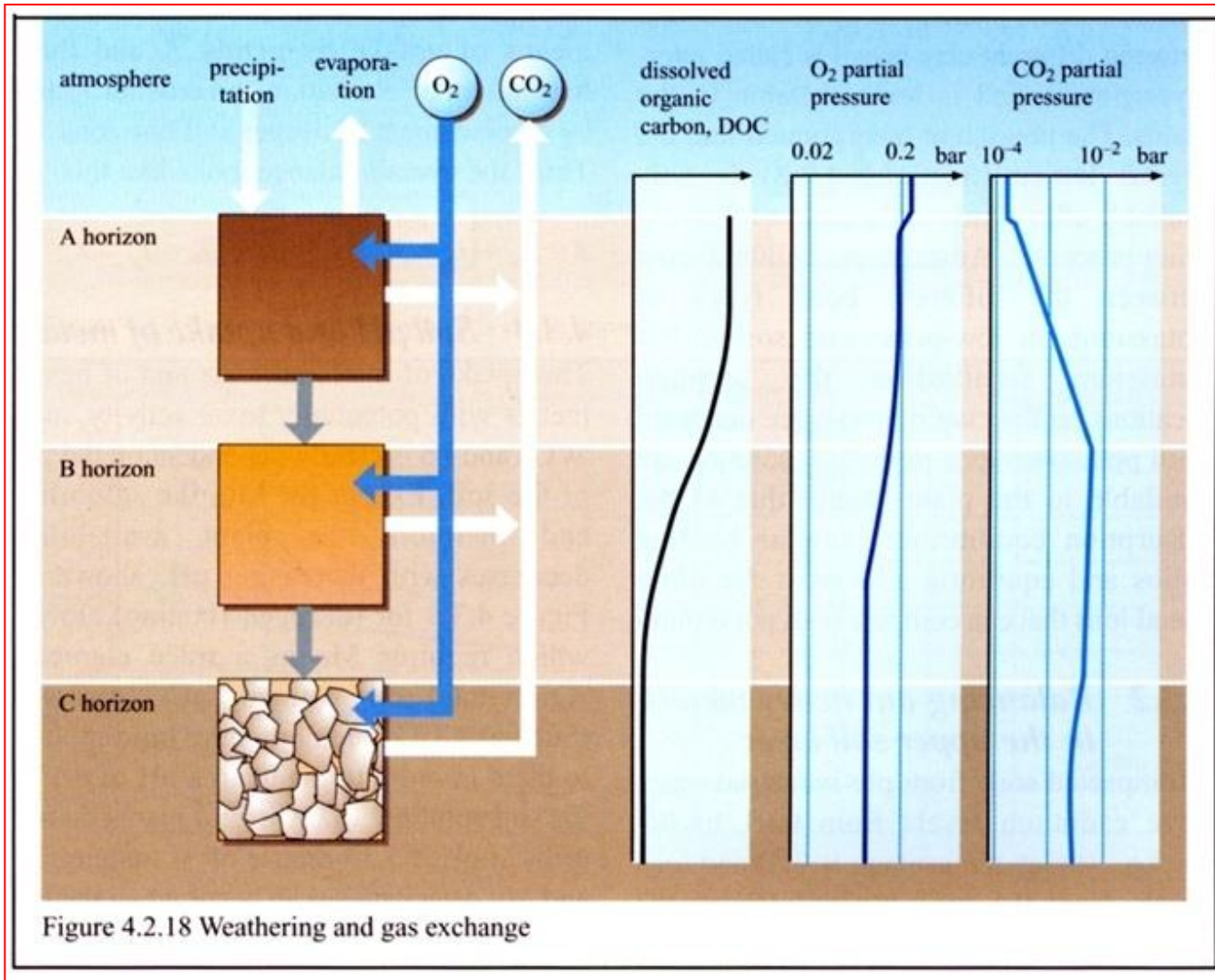
Polyfunkční výměnná struktura jílových minerálů



Půdní granulometrické složení



Zvětrávání a výměna plynů



Vztahy mezi organismy, organickou hmotou a minerály

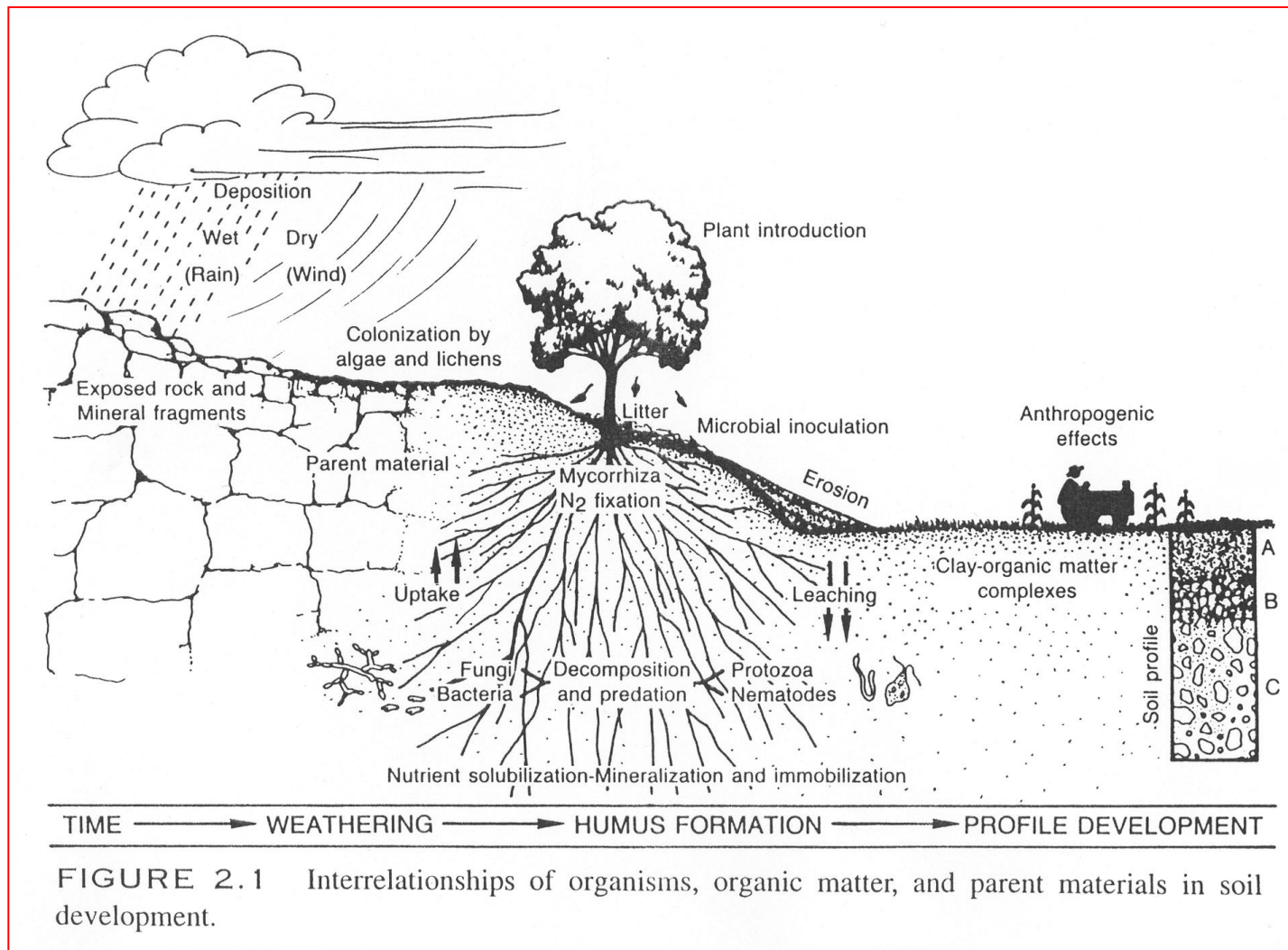


FIGURE 2.1 Interrelationships of organisms, organic matter, and parent materials in soil development.

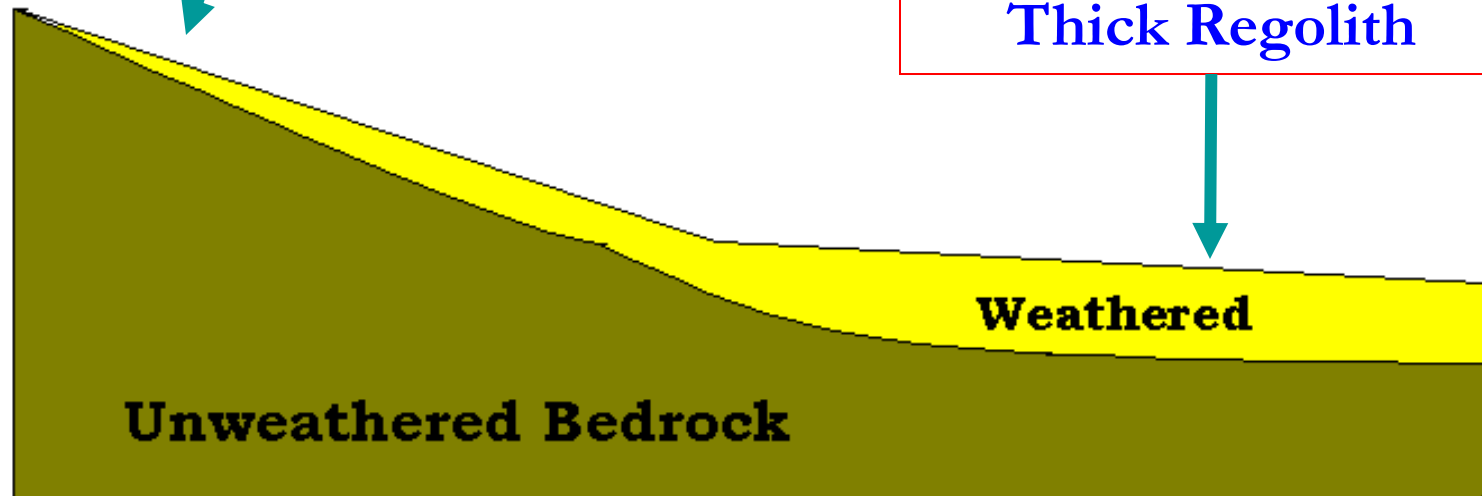
Typy minerálů a hornin

<p>Slow</p> <p>Weathering Rate</p> <p>Fast</p>	Stable	<p>quartz clays muscovite</p>	<p>Remain as residue</p>
	Unstable	<p>K-feldspar biotite Na-plagioclase amphibole pyroxene Ca-plagioclase olivine calcite halite</p>	<p>Soluble Components Dissolved ions removed in solution</p> <p>Insoluble components Stable minerals produced by weathering</p>

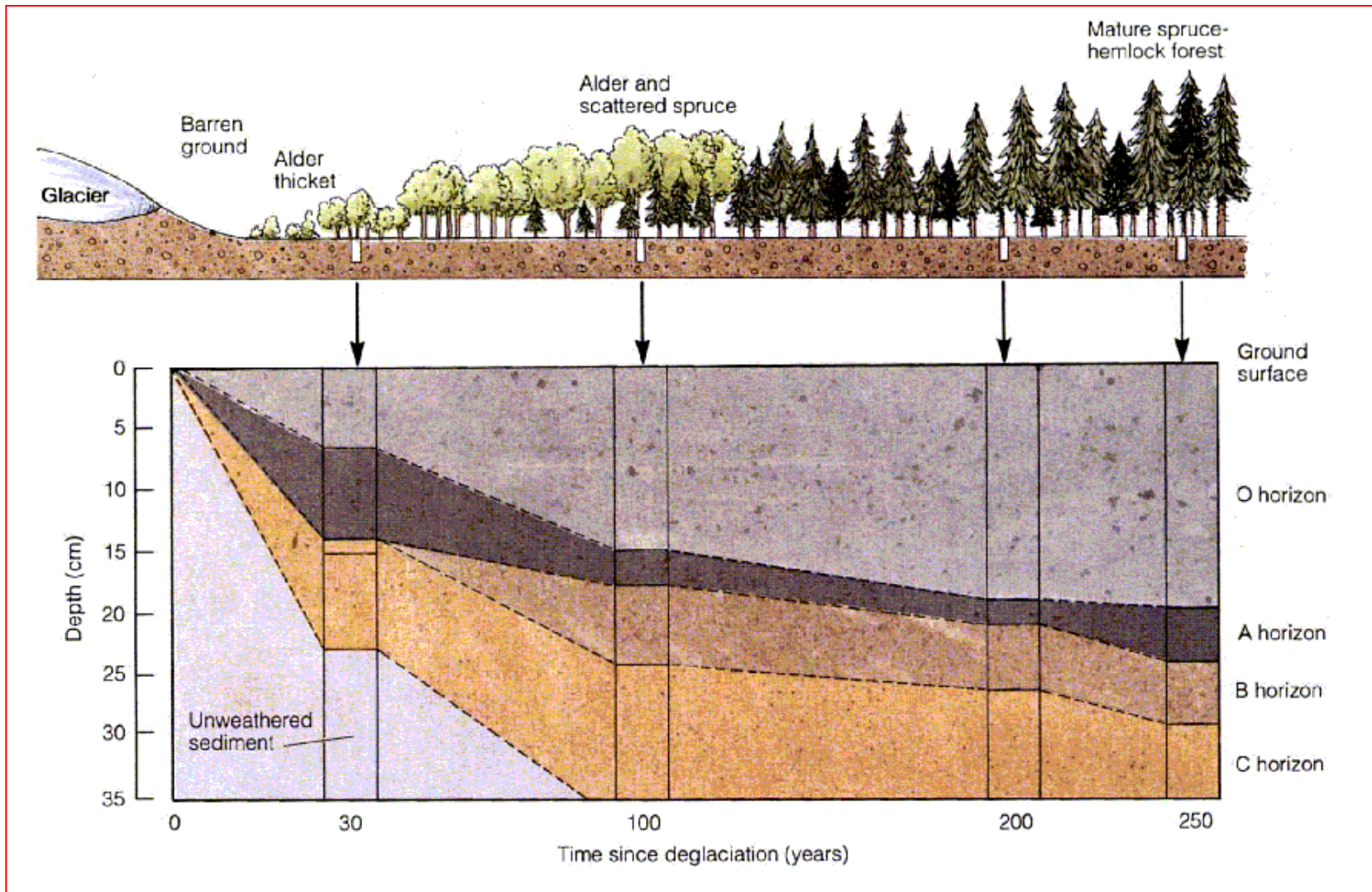
Svah

Steep Slopes
Products Removed
Thin Regolith

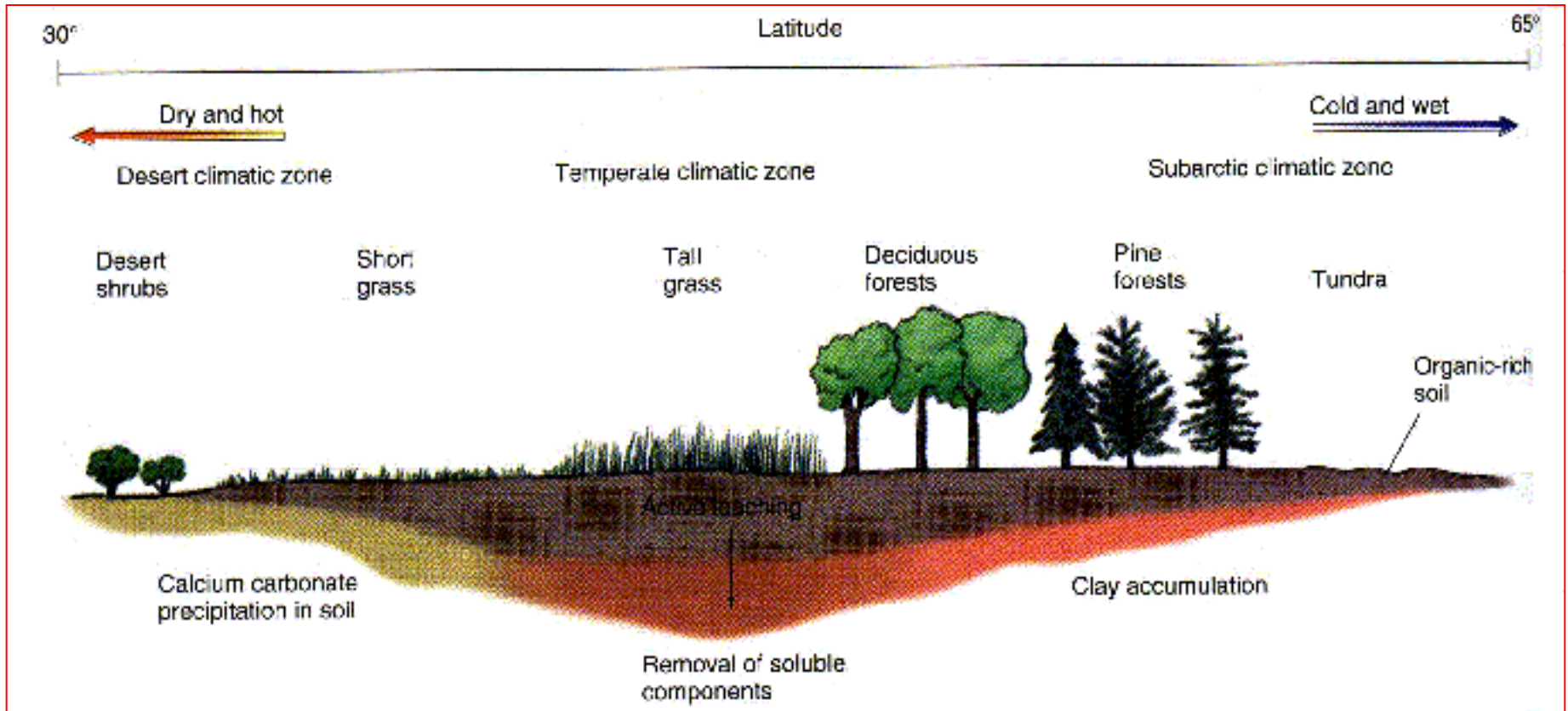
Gentle Slopes
Products Accumulate
Thick Regolith



Vliv času na vývoj



Půdy a klima



Eroze

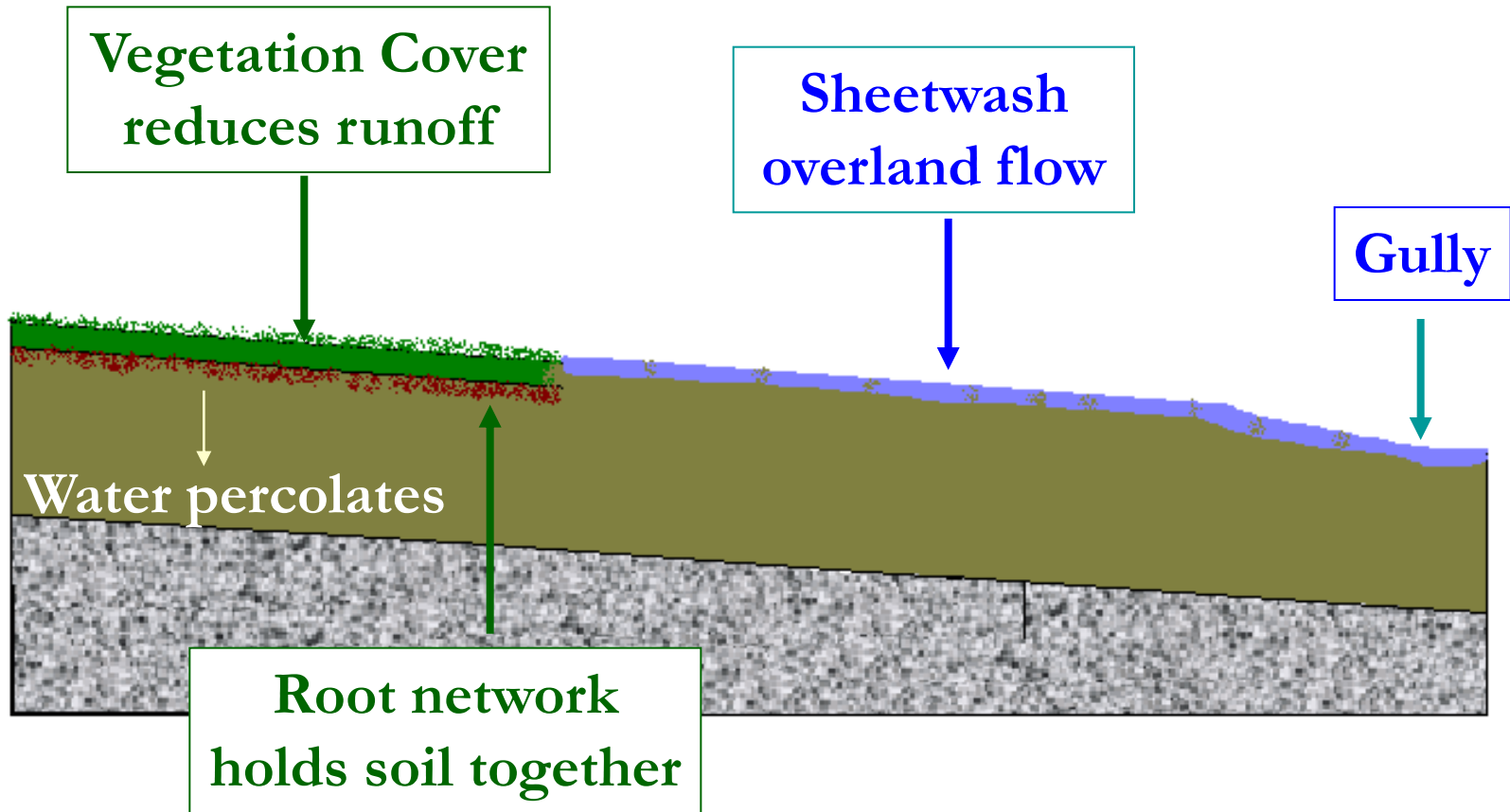
Odstraňování zvětralého materiálu:

- ↪ Vodou
- ↪ Větrem
- ↪ Ledovci

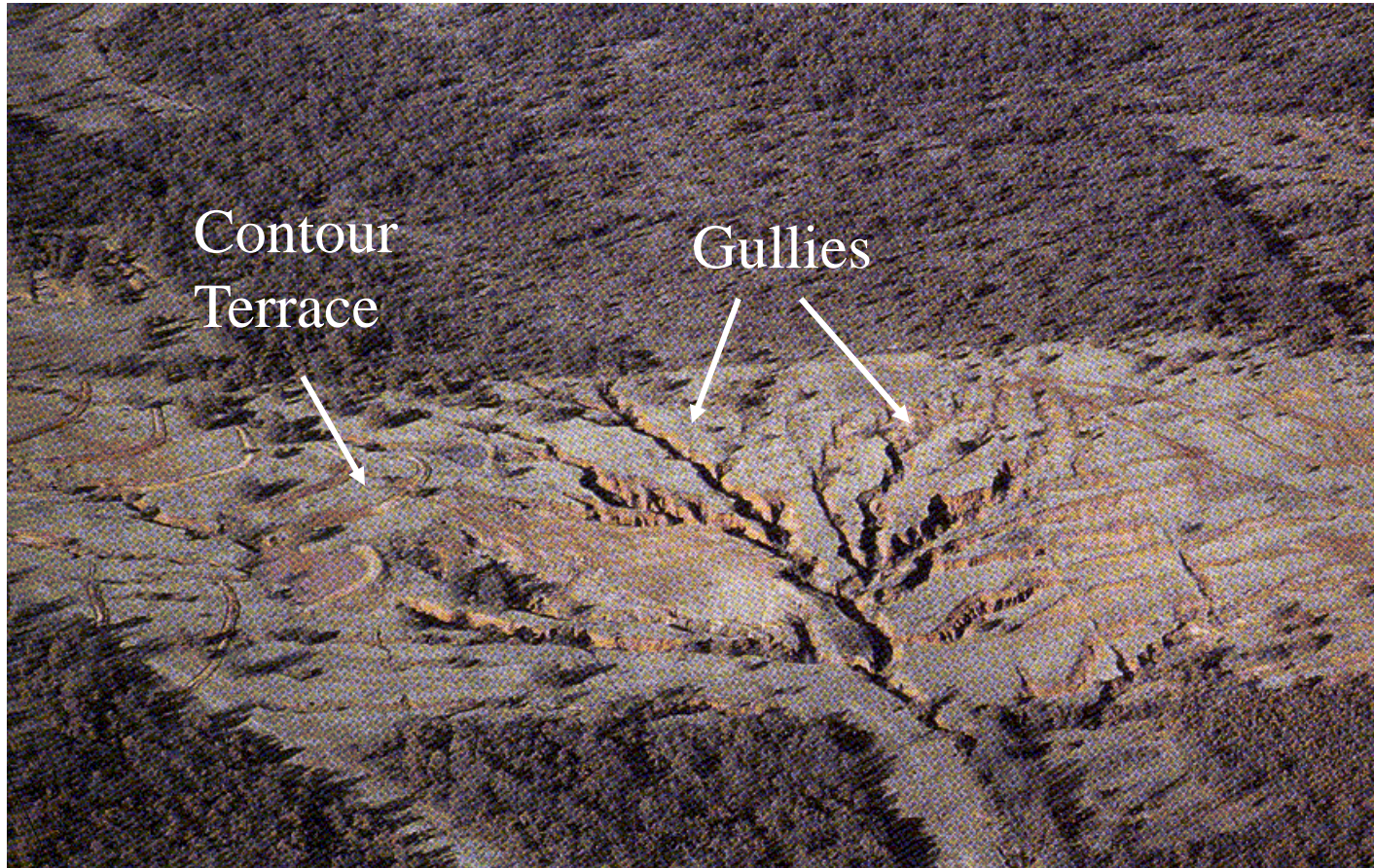
Přírodní část horninového cyklu

Může být urychleno antropogenními aktivitami

Vodní eroze

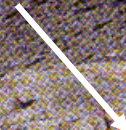


Vodní eroze



Contour
Terrace

Gullies



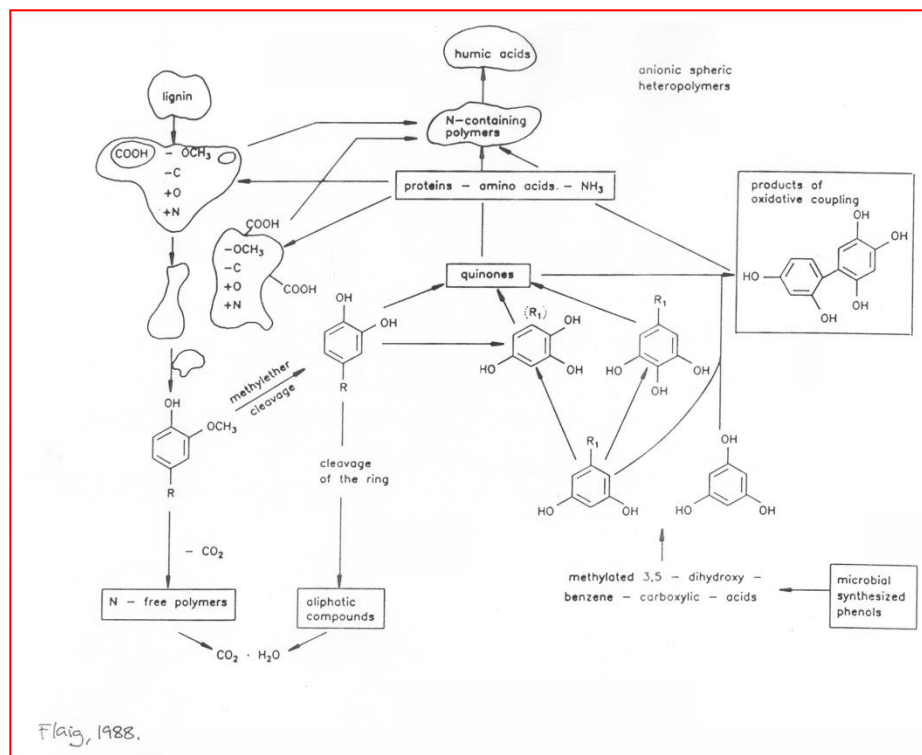
Složky půdního systému

Abiotické:

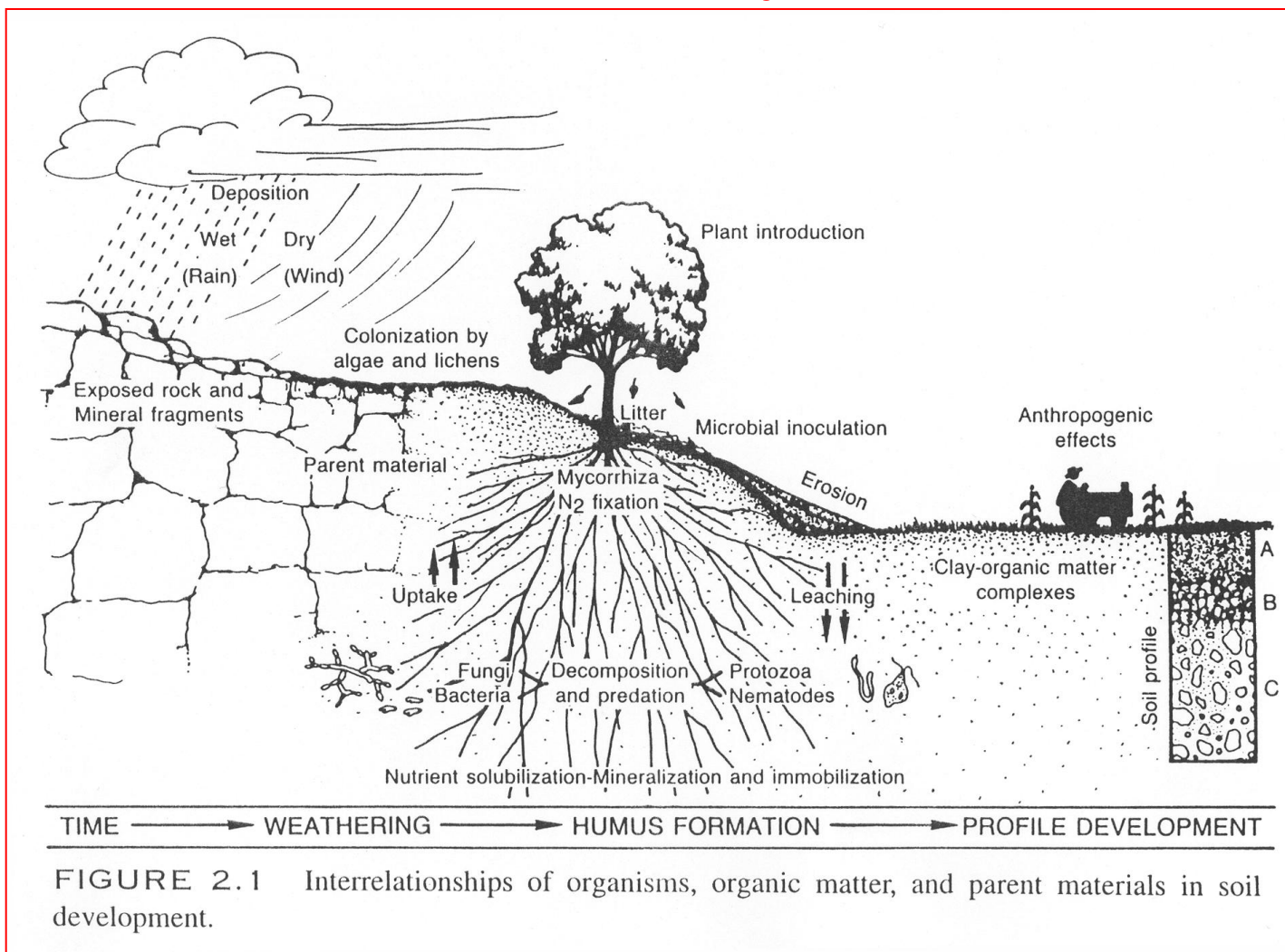
- ↪ **tuhá fáze** – zbytky matečné horniny z větší části chemicky a fyzikálně přeměněné procesem zvětrávání; nejdůležitější anorganickou složkou jsou jílové minerály – výměna iontů, adsorpce; 35 – 45 % objemu půdy;
- ↪ **kapalná fáze (půdní roztok)** – transport živin vegetaci, transport polutantů; 15 – 35 % objemu půdy;
- ↪ **plynná fáze (půdní plyn)** – v podstatě stejné složení jako vzduch obohacený o CO₂, HCs a další produkty rostlinného a živočišného metabolismu, 15 – 35 % objemu půdy;
- ↪ **humus** – půdní organická hmota - neživá biomasa v různém stupni rozkladu; 5 – 15 %

Půdotvorné procesy

Humifikace – mikrobiální a chemické procesy, při kterých se mění organické zbytky v humus – probíhá ve větší či menší míře ve všech půdách a je tím nejvlastnějším půdotvorným pochodem, který podmiňuje vznik půdy;



Vztahy mezi organismy, půdní organickou hmotou a minerály



Diagenese a humifikace

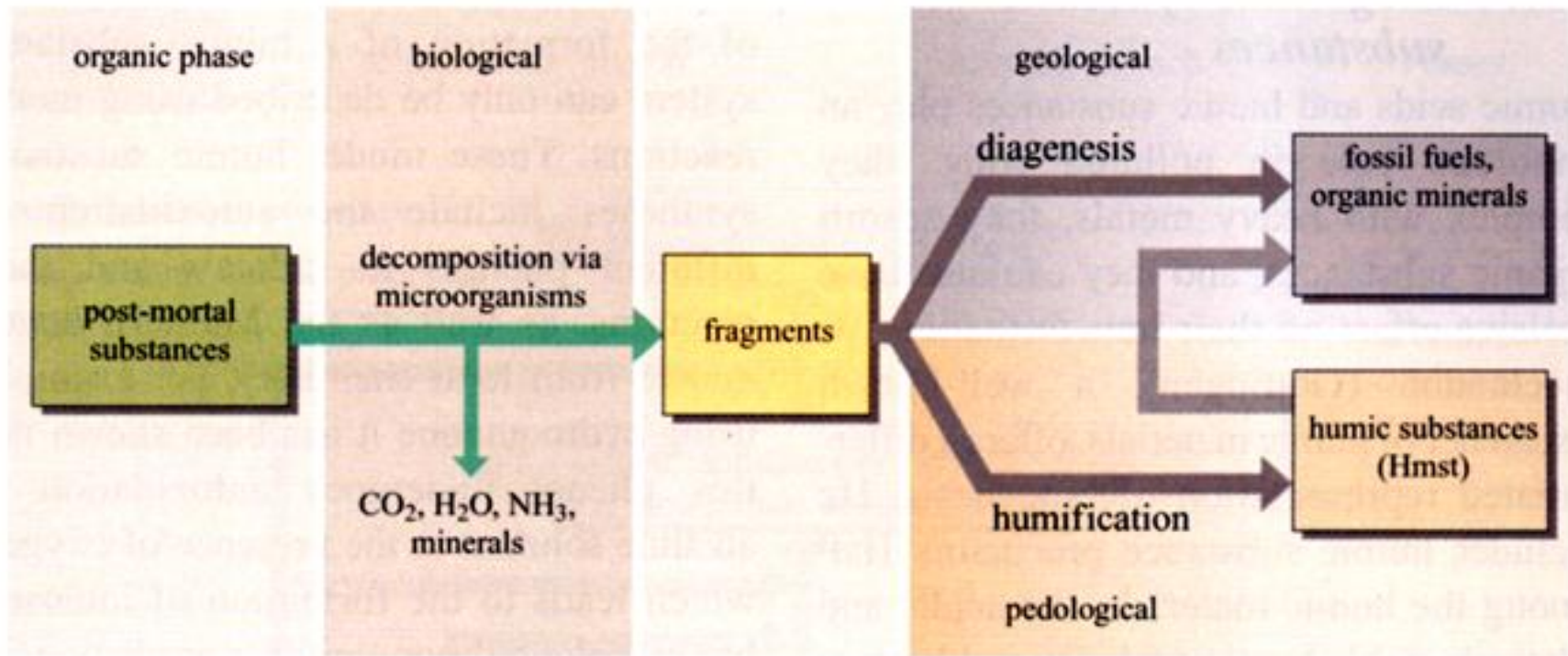
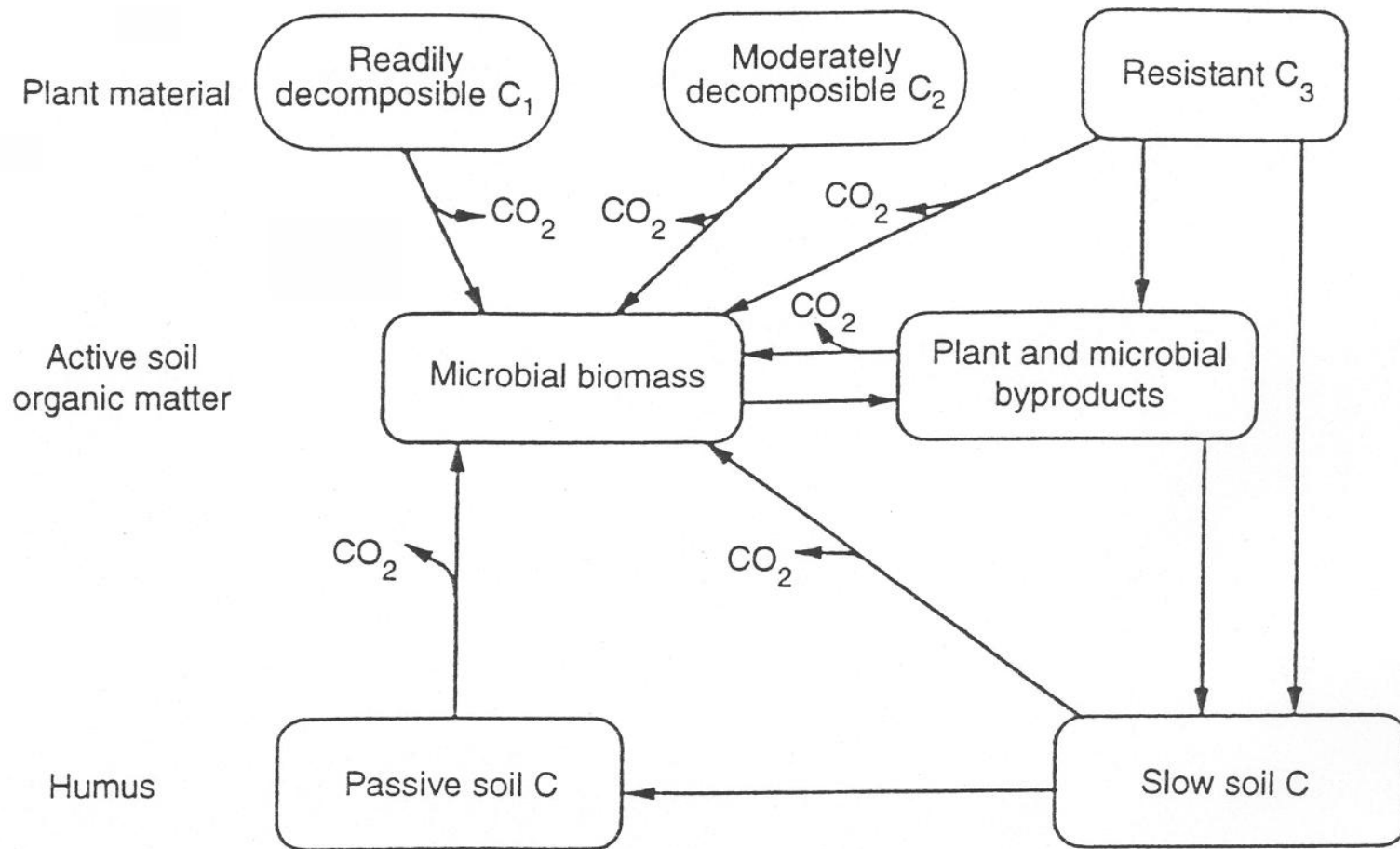


Figure 4.2.12 Diagenesis and humification

Humus

- ↪ ovlivňuje dynamiku teplotních a vlhkostních poměrů v půdě, dynamiku vodního a vzdušného režimu,
- ↪ jako teplotní izolátor zmenšuje teplotní výkyvy – denní i sezónní,
- ↪ zachycuje srážky, rozhoduje o průsaku, výparu, jímavosti, odtoku vody,
- ↪ ovlivňuje tvorbu půdní struktury,
- ↪ brání škodlivým účinkům vodní a větrné eroze,
- ↪ ovlivňuje dynamiku kyselosti půd, koloběh živin (C, N, P), tvorbu CO₂,
- ↪ ovlivňuje biologickou aktivitu půdy – zdroj potravy a energie pro půdní organismy,
- ↪ komplexace živin a polutantů.

Význam živých organismů pro produkci půdní organické hmoty



The role of living organisms in the production of soil organic matter.

Půdní organická hmota

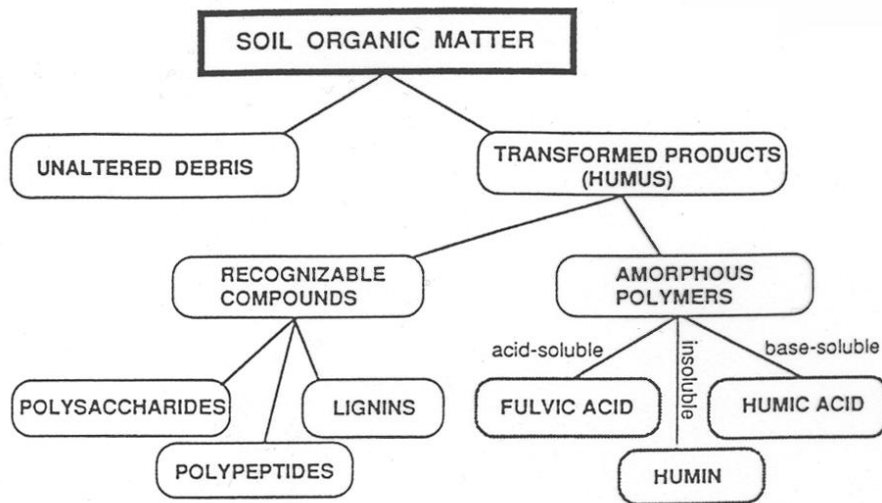


Figure 2.21. A classification scheme for soil organic matter. (After M.H.B. Hayes and R. S. Swift. 1978. The chemistry of soil organic colloids. In D. J. Greenland & M.H.B. Hayes (eds.), *The Chemistry of Soil Constituents*. New York: Wiley.)

Table 2.5. Some Fundamental Properties of Humic Substances

	Fulvic Acid	Humic Acid	Humin ^a
Molecular wt.	1000–5000	10,000–100,000	> 100,000
% C	42–47	51–62	>62
% O	45–50	31–36	<30
% N	2.0–4.1	3.6–5.5	>5
Acid content (moles/kg) ^b	14	5	<5

^aValues for humin are uncertain because of difficulty in separating this fraction from the mineral particles for elemental analysis.

^bThe acid content is equivalent to the potential cation exchange capacity once the acidity is neutralized by alkali.

Püda a humus

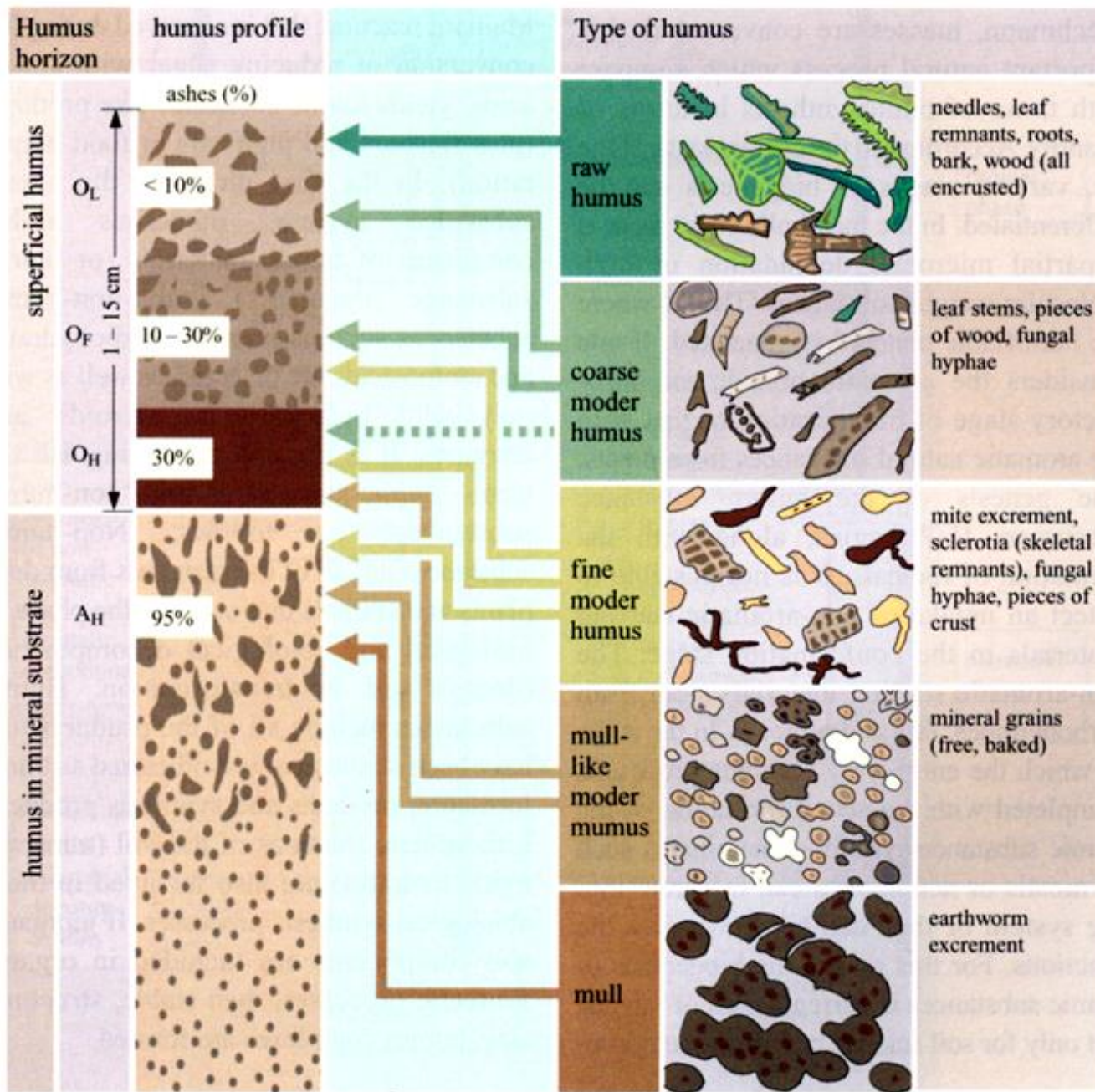


Figure 4.2.13 Soil and humus

Biogeneze huminových látek

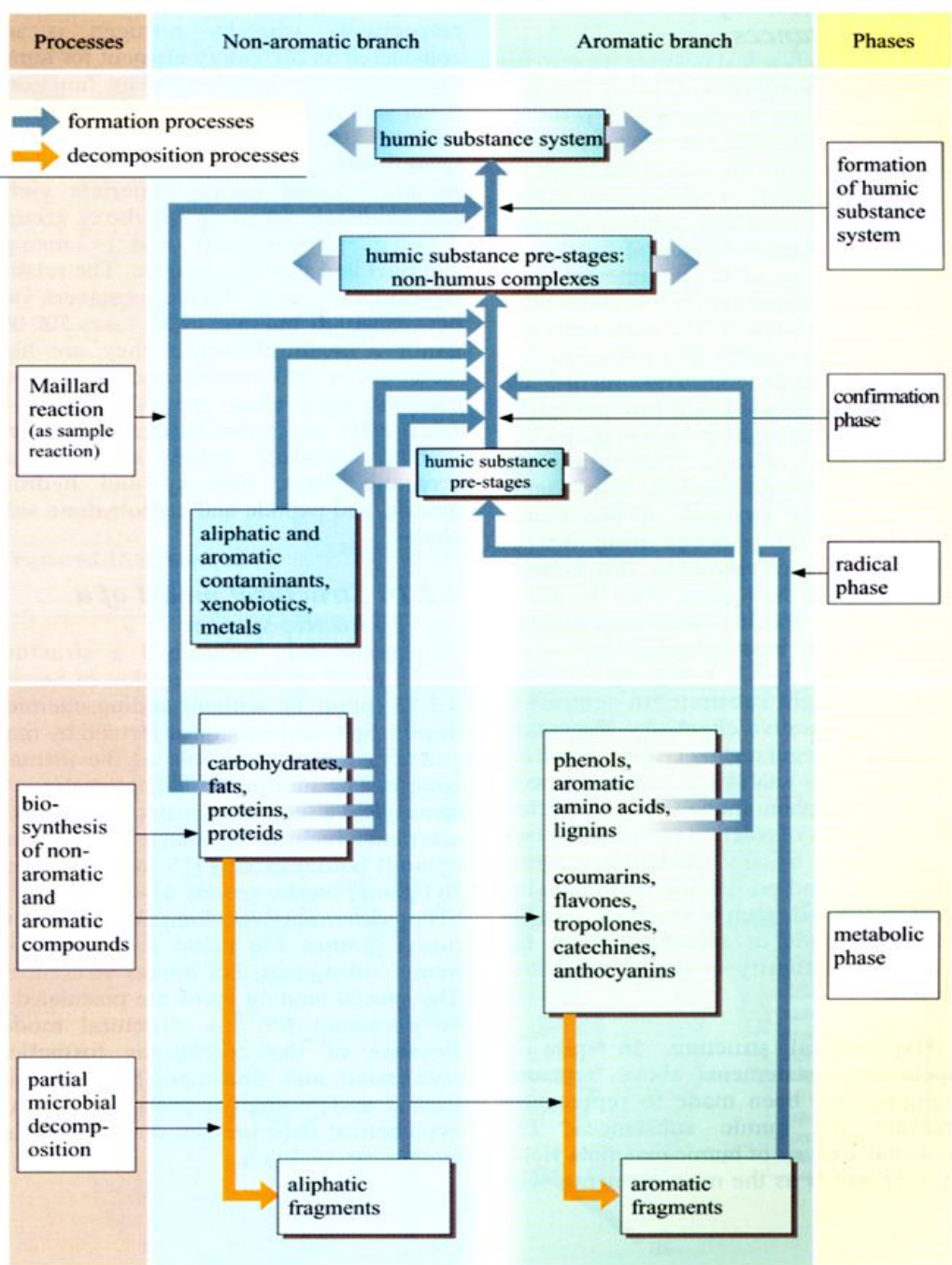


Figure 4.2.14 Biogenesis of humic substances

Huminové kyseliny

Všechny skupiny HL jsou si strukturně podobné, liší se MH, obsahem funkčních skupin, kyselostí, komplexačními schopnostmi a rozpustností v některých rozpouštědlech.

HK

- ↪ Rozpustné v zásadách
- ↪ Nerozpustné v kyselinách

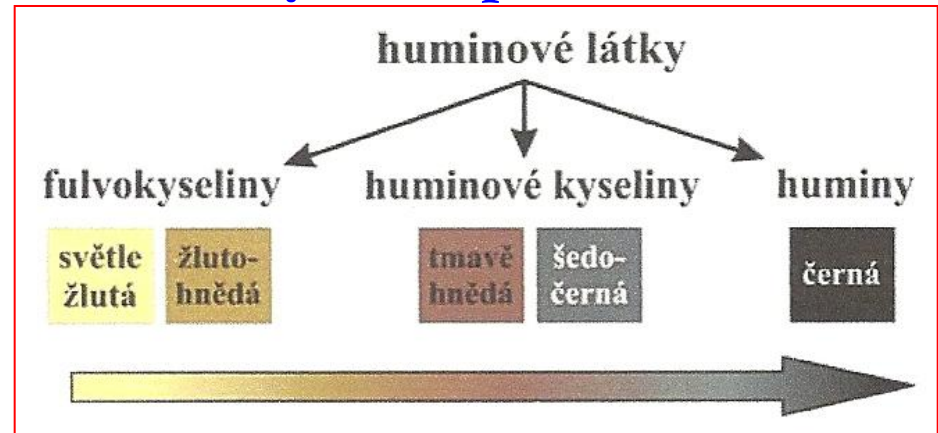
FK

- ↪ Rozpustné v zásadách
- ↪ Rozpustné v kyselinách

Huminy

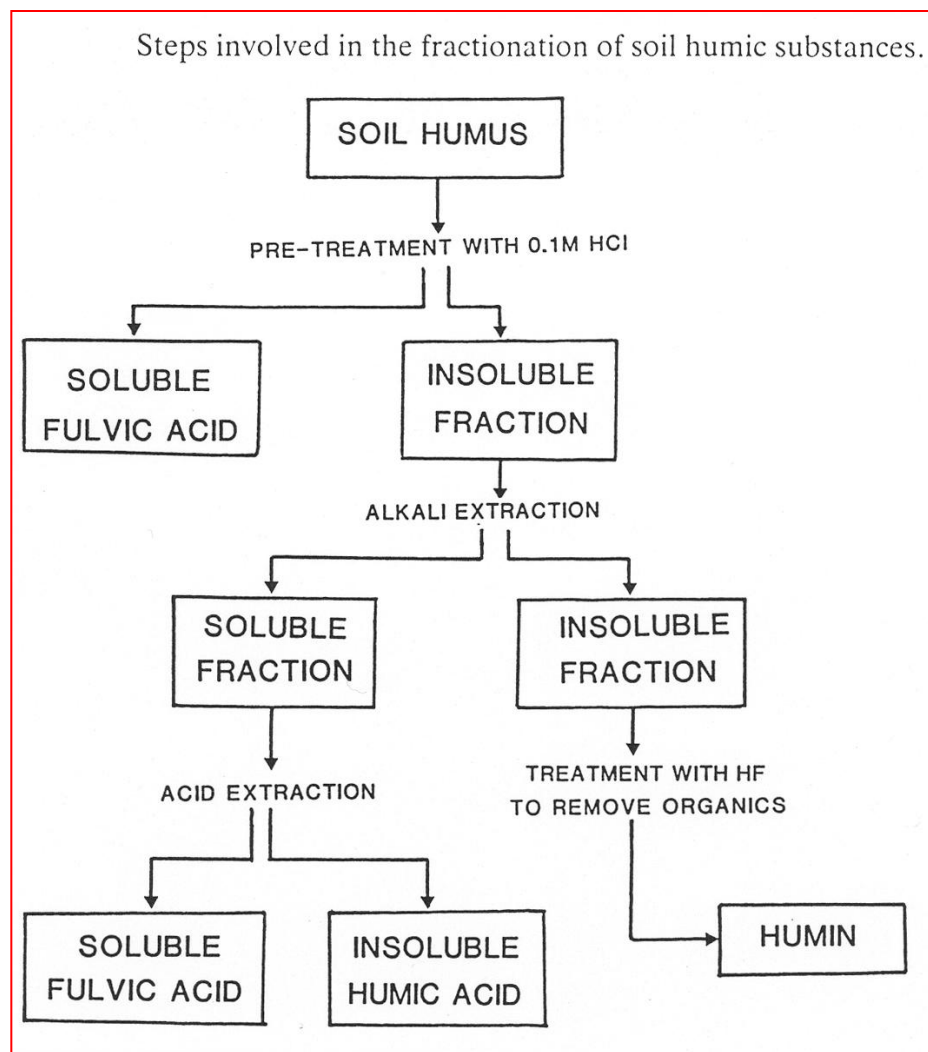
- ↪ Nerozpustné v kyselinách
- ↪ Nerozpustné v zásadách

Ve vodách díky větší rozpustnosti převažují FK



- ↪ Růst intenzity zbarvení
- ↪ Růst stupně polymerizace
- ↪ Růst MH (2 000 – 300 000 ?)
- ↪ Růst obsahu C (45 – 62 %)
- ↪ Pokles obsahu O (48 – 30 %)
- ↪ Pokles výměnné acidity (1 400 – 500)
- ↪ Pokles rozpustnosti

Kroky frakcionace půdních huminových látek



XAD izolační postup pro fulvo- a huminové kyseliny

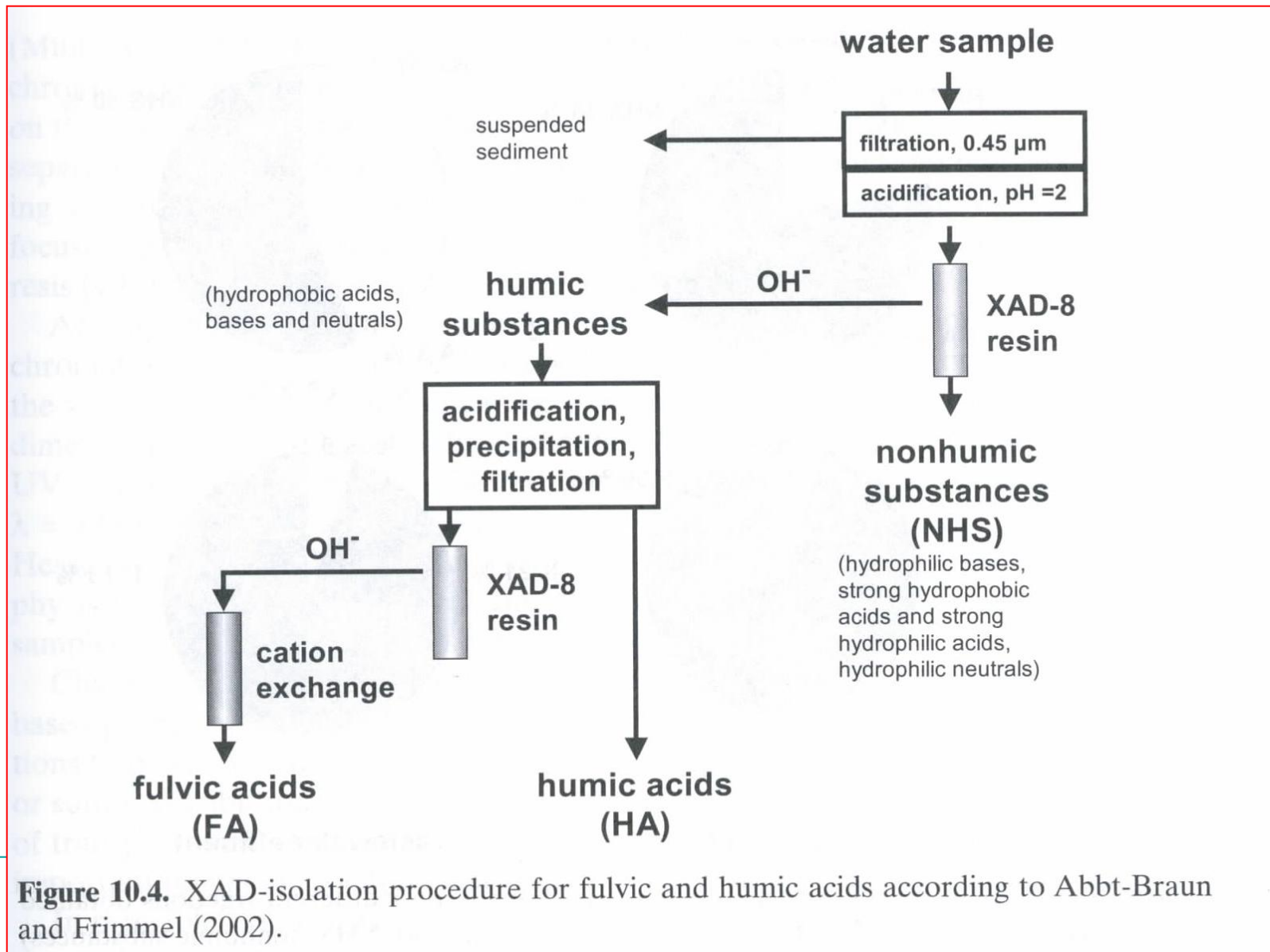
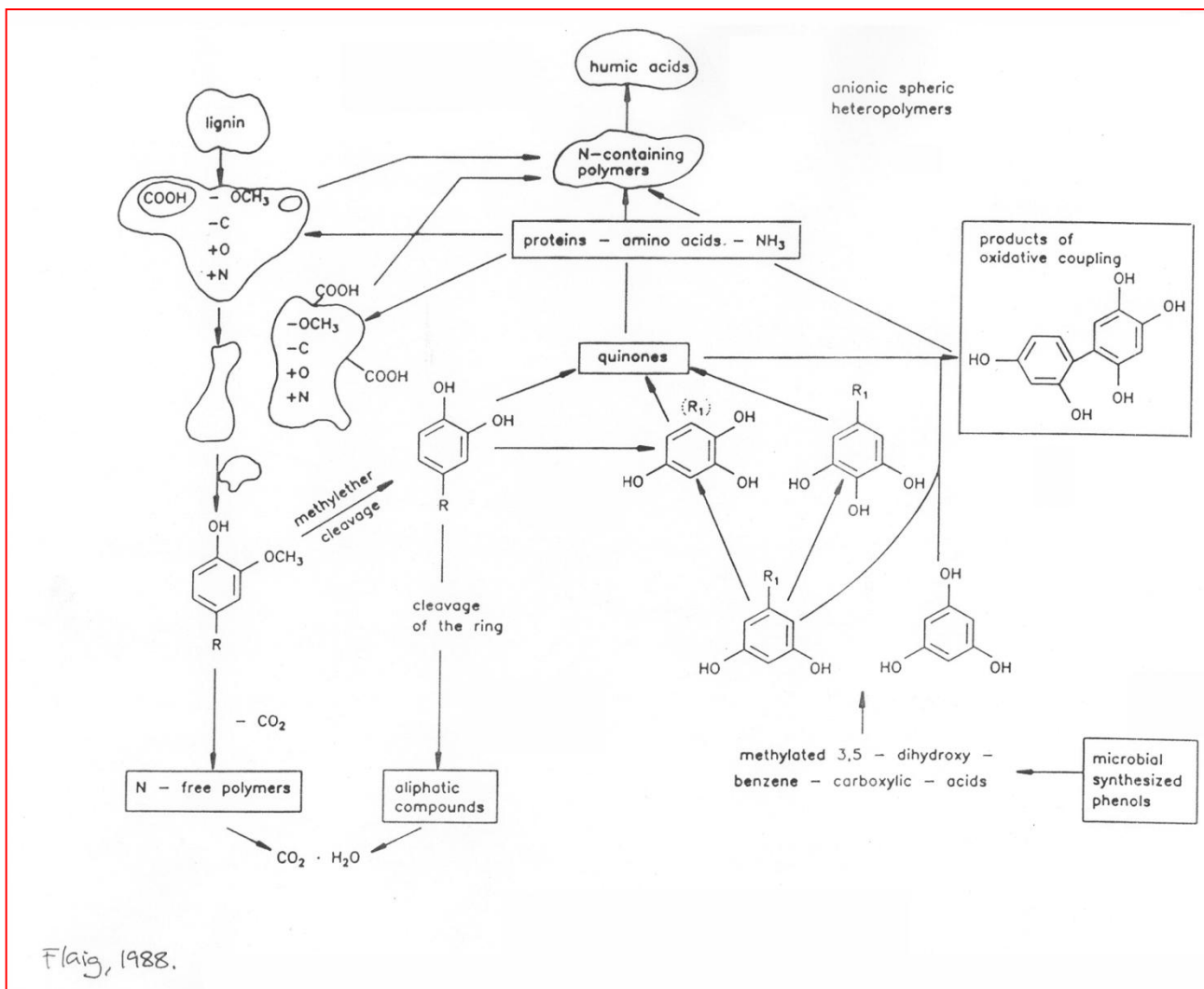
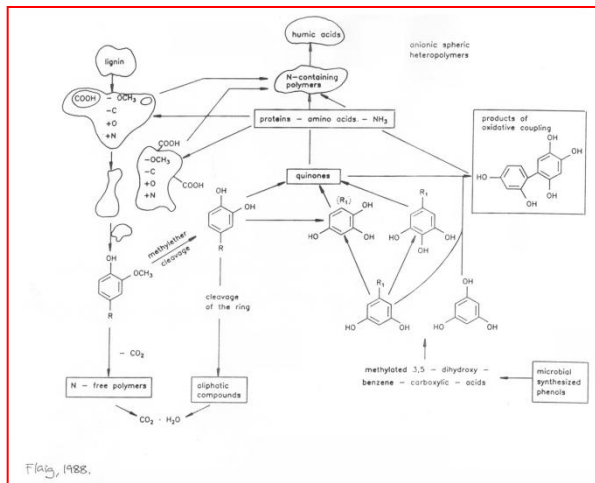


Figure 10.4. XAD-isolation procedure for fulvic and humic acids according to Abbt-Braun and Frimmel (2002).

Humifikace



Humifikace



Tvorba humusu

Mineralizace

V podmínkách příznivých teplot, vlhkosti, provzdušnění.

V půdě je v těchto podmínkách pozorovatelná silná činnost aerobních bakterií, které rozkládají organickou hmotu na jednoduché složky (CO_2 , H_2O , NH_3 , oxidy) v tomto případě se humus netvoří, nebo je velmi rychle rozkládán.

Rašelinění nebo uhelnatění

V podmínkách kyselé reakce prostředí, nízké teploty, vysoké vlhkosti, za omezeného přístupu vzduchu, anaerobních podmínek, nedostatečné oxidace.

Nedokonalá přeměna organické hmoty - nedokonalý rozklad organický zbytků, enzymatický a biochemický proces způsobený zejména anaerobními bakteriemi

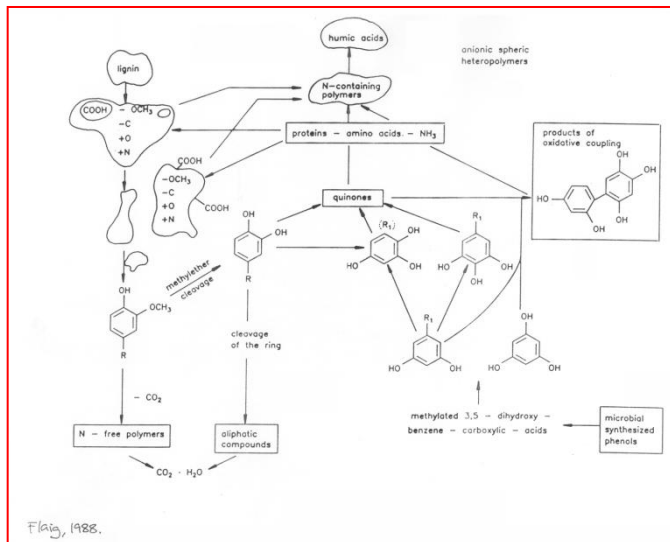
Výsledkem jsou huminové a ulminové látky tmavohnědé-černé barvy s vysokým obsahem uhlíku.

Humifikace

Humifikace

Optimální podmínky jsou periodické ovlhčování a vysychání, střídání aerobních a anaerobních procesů.

Proces humifikace je převážně anaerobní, soubor převážně enzymatických a biochemických pochodů, při nichž se z meziproductů rozkladu tvoří resyntézou tzv. huminové látky.



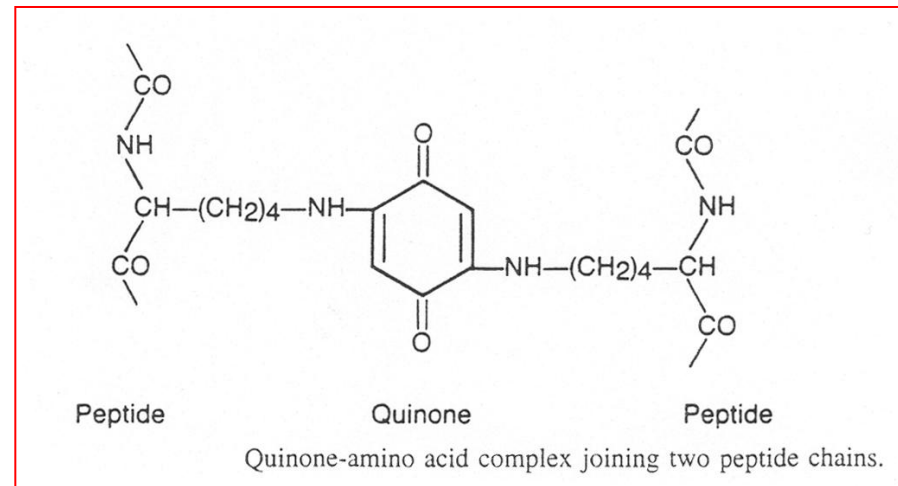
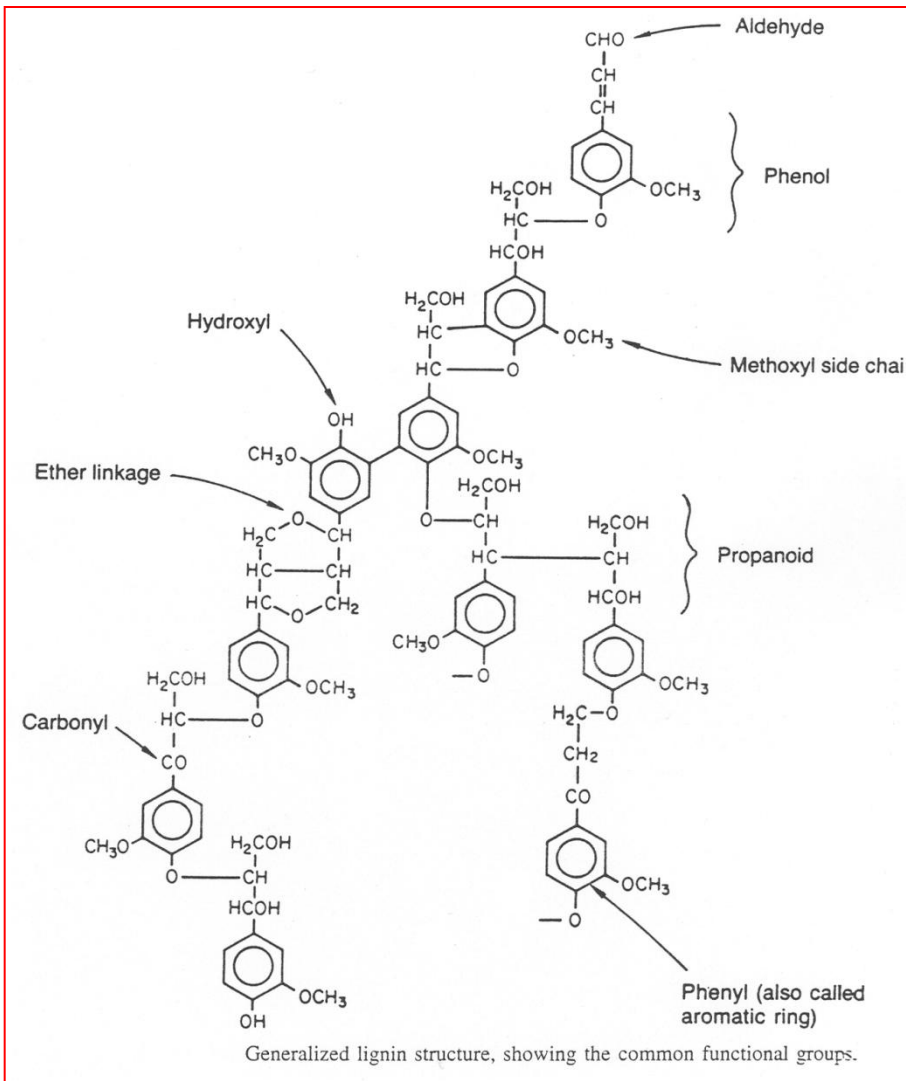
Mají obsah uhlíku k dusíku 1:10, hnědou až černohnědou barvu a vlastnosti koloidů.

Humifikace je provázena mineralizací výchozích látek (nikdy nezhumifikuje všechna organická hmota).

Článkem tvorby humusových látek je kondenzace strukturních jednotek, ke které dochází okysličením fenolů přes fermenty typu fenoloxidáz vedoucím k tvorbě chinonů a vzájemným reakcím chinonů s aminokyselinami a peptidy, závěrečnou fází je polymerace (polykondenzace).

Ta je reverzibilním procesem a proto je nutné aby byl produkt z prostředí odváděn, jinak může dojít k rozpadu již vytvořených kondenzátů (např. při nadbytku vody v půdě).

Prekurzory vzniku huminových látek



Rozklad půdní organické hmoty aerobními a anaerobními procesy

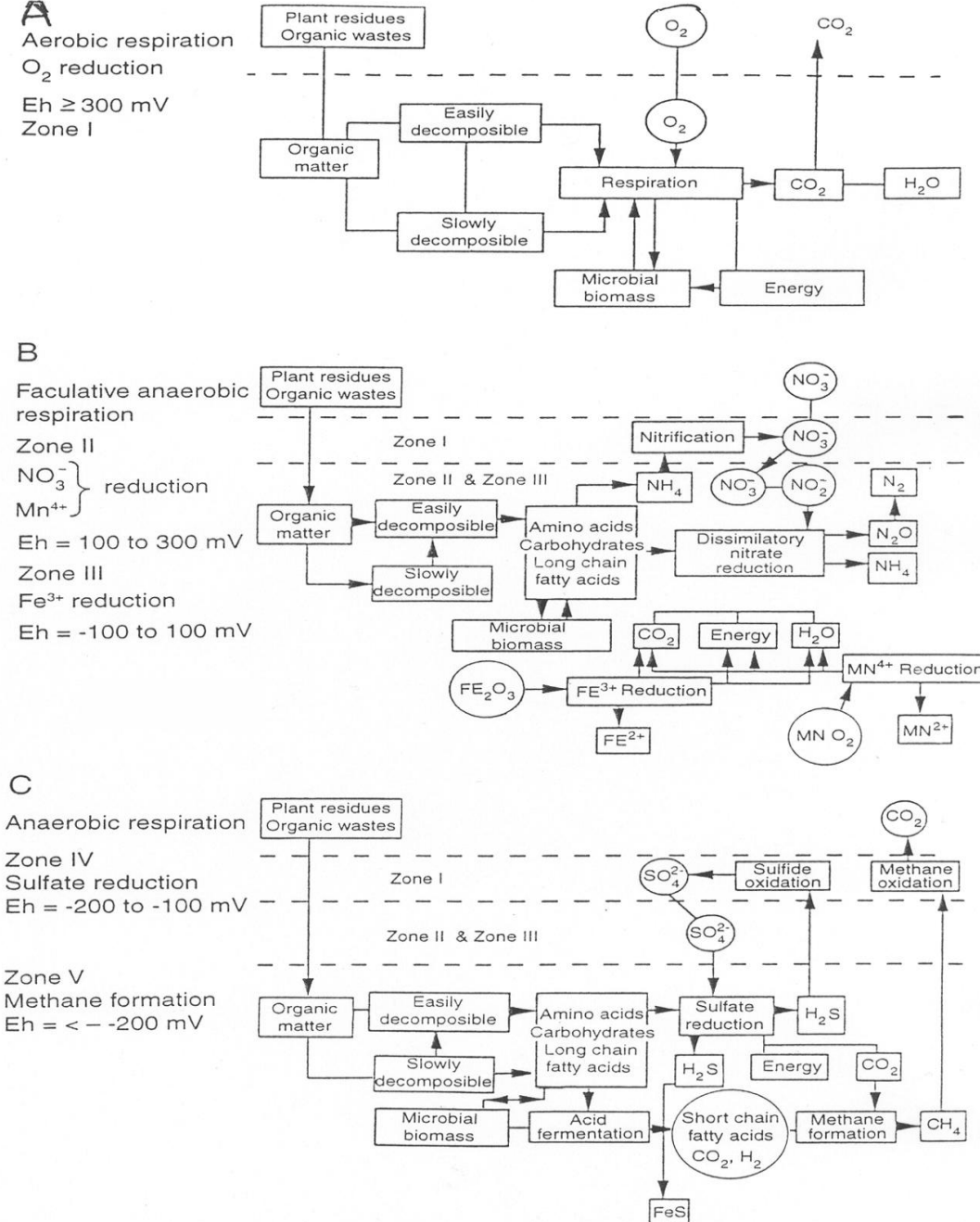


FIGURE 7.8 (A) Pathways of organic matter decomposition during aerobic respiration. (B) Pathways of organic matter decomposition during facultative anaerobic respiration. (C) Pathways of organic matter decomposition during anaerobic respiration. (From Reddy *et al.*, 1986.)

Potenciální struktura huminových kyselin

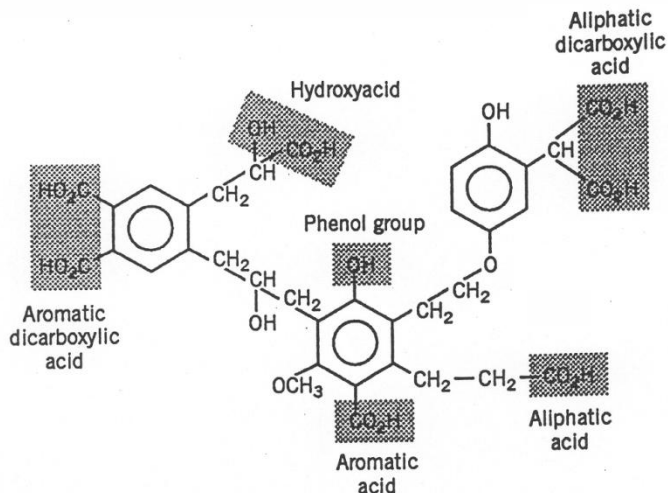


Figure 3.12. Exemplification of different possible —OH and —COOH groups in a hypothetical humic acid polymer. (From Thurman, 1985.)

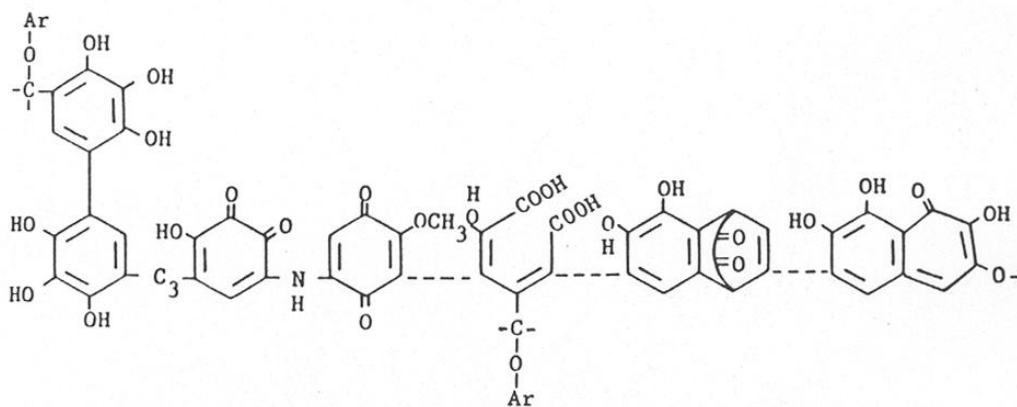


FIGURE 3. Hypothetical structure of humic acid according to Flaig (1960b).

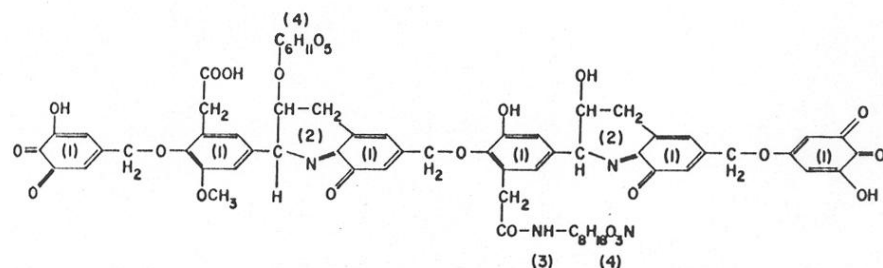


FIGURE 2. Dragunov's structure of humic acid as recorded by Kononova (1966): (1) Aromatic ring of the di- and trihydroxybenzene type, part of which has the double linkage of a quinone group. (2) Nitrogen in cyclic forms. (3) Nitrogen in peripheral chains. (4) Carbohydrate residue.

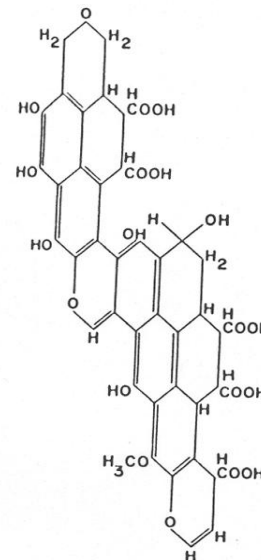


FIGURE 1. Structure of humic acid according to Fuchs.

Potenciální struktura huminových kyselin

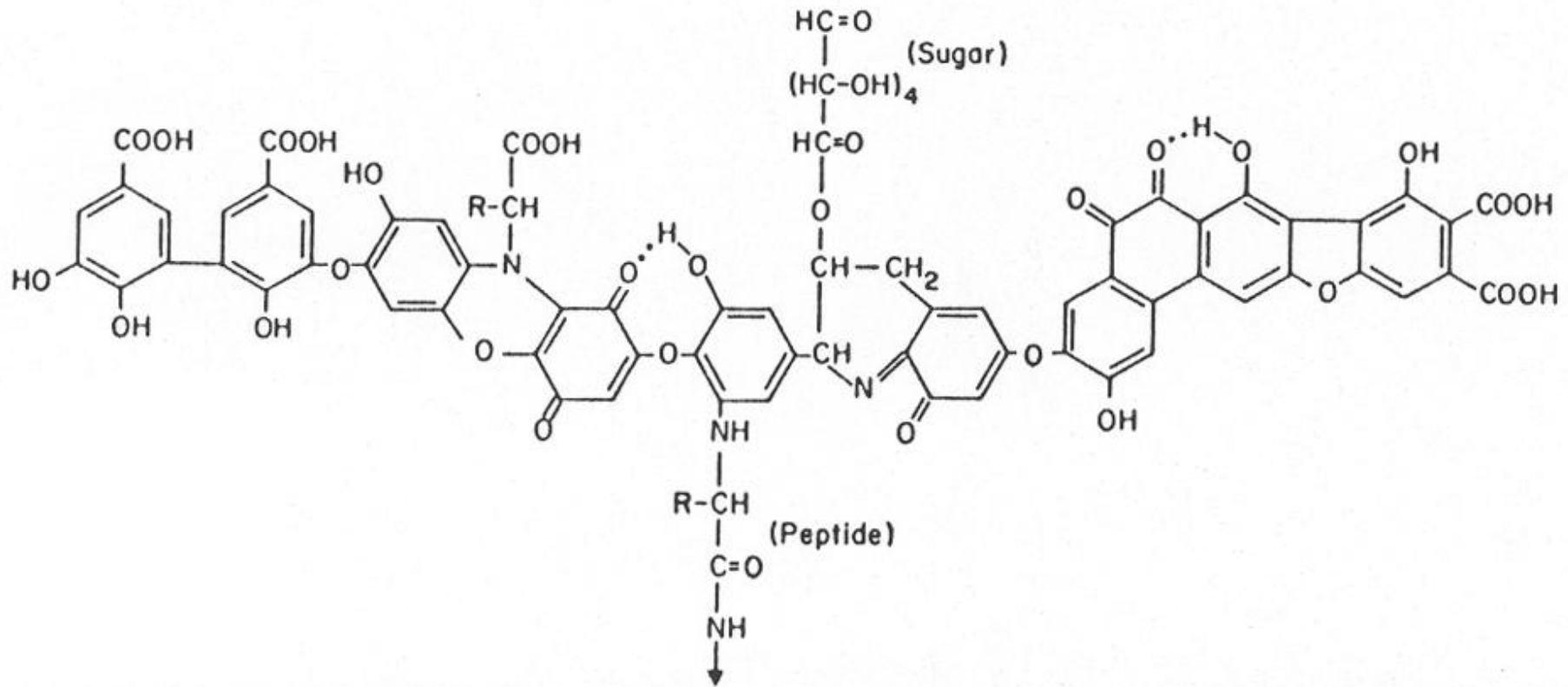


FIGURE 4. Hypothetical structure of humic acid showing free and bound phenolic OH groups, quinone structures, oxygen as bridge units, and carboxyls variously placed on the aromatic ring. From Stevenson (1982).

Obsahují cca 50 – 57 % C, 34 – 38 % O, 4 – 6 % H, < 1 % N a S

Potenciální struktura fulvo kyselin

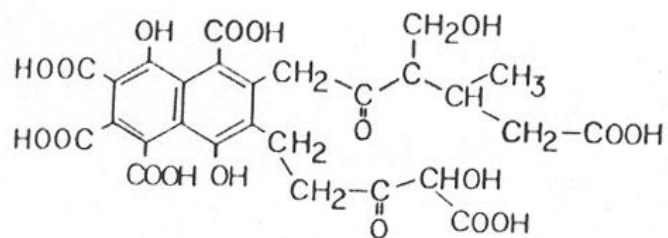


FIGURE 6. Type structure of fulvic acid as proposed by Buffle (1977).

Obsahují cca 46 – 55 % C, 37 – 50 % O, 4 – 5 % H, < 1 % N a S

Humus

Struktura

- ↪ aromatické a cyklické struktury,
- ↪ boční řetězce,
- ↪ funkční skupiny: - COOH, - OH, C=O, -OCH₃,
- ↪ identifikace - po frakcionaci, hydrolýze, oxidaci, redukci – typické produkty – aldehydy, ketony, alkoholy, karboxylové kyseliny, aminokyseliny,
- ↪ frakce – huminové, fulvo, hymatomelanové kyseliny, humin,
- ↪ huminové kyseliny – slabě disociované, vícesytné organické kyseliny; $K = 10^{-4} - 10^{-5}$,
- ↪ v roztoku se chovají jako micelární koloidy, koloidní částice mají záporný náboj, isoelektrický bod – v kyselé oblasti,
- ↪ v silně alkalické oblasti – tvoří pravé roztoky.

Strukturní podobnost huminových kyselin

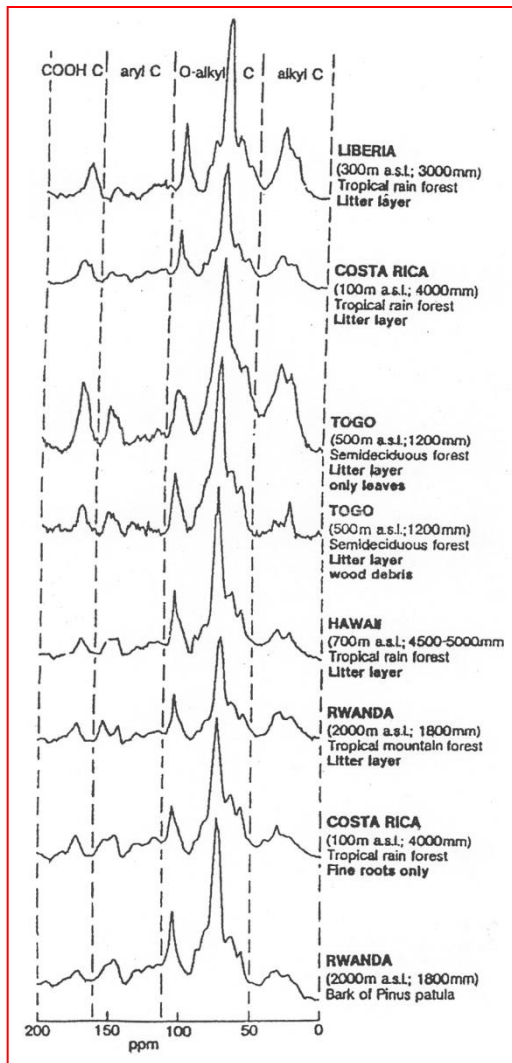
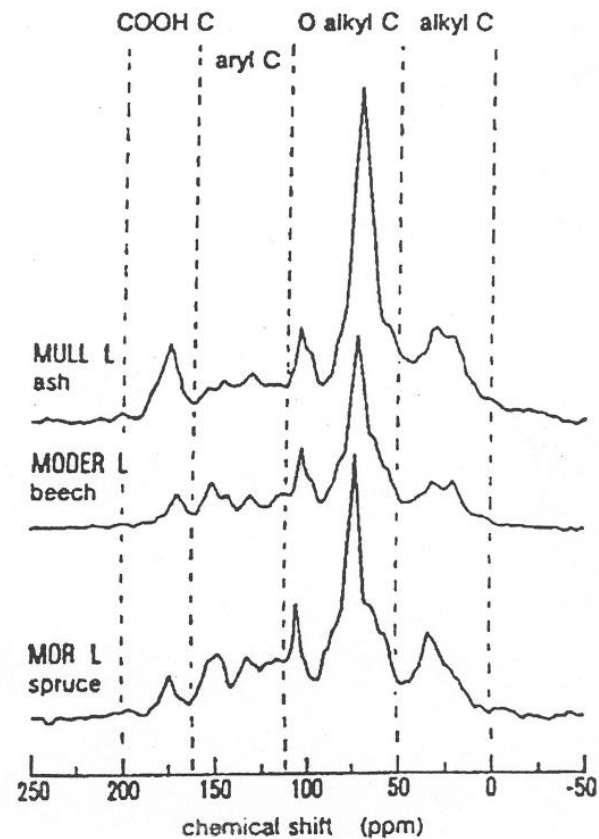


Fig. 1. CPMAS ^{13}C NMR spectra of some litter layers of temperate forests, ash (*Fraxinus excelsior*), beech (*Fagus sylvatica*), and spruce (*Picea abies*).



NMR lesních půd

Blue = Hydrophilic

Red = Hydrophobic

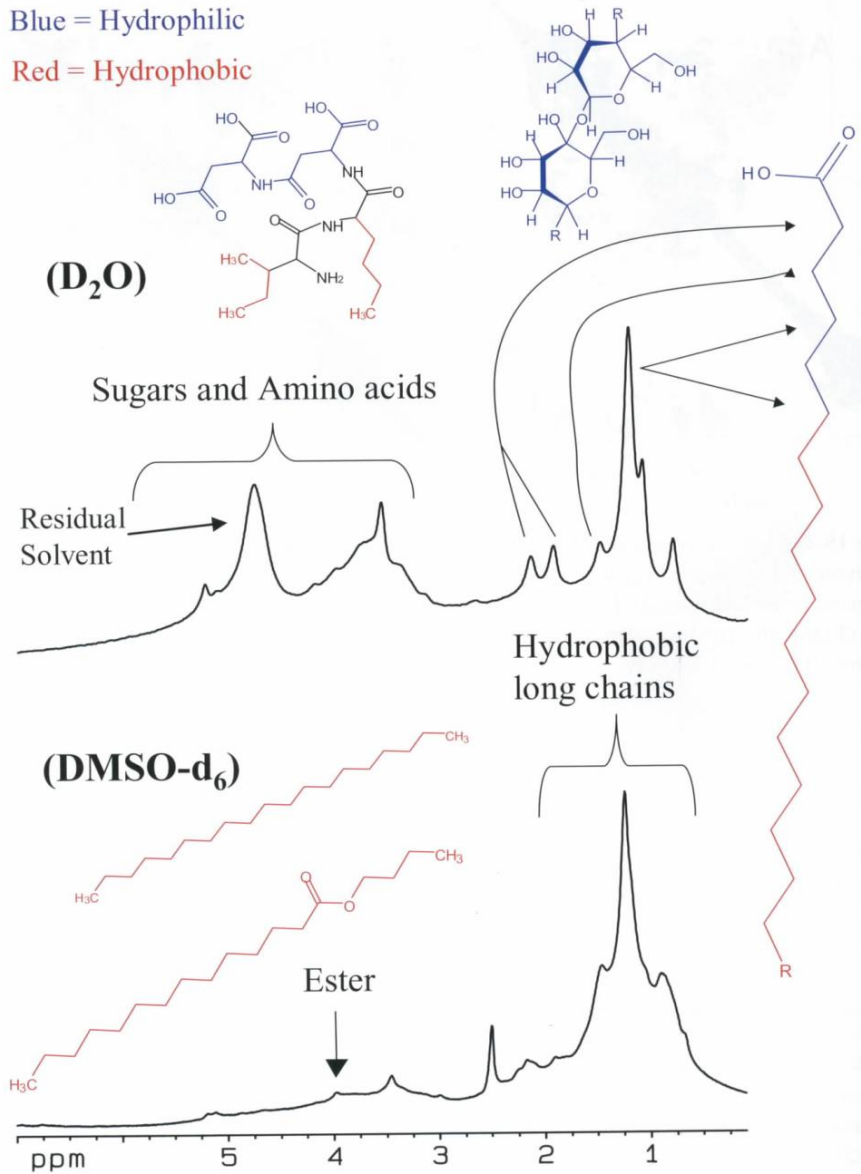


Figure 15.7. ¹H HR-MAS NMR of a forest soil. **(Top)** Sampled and analyzed “as is” after the addition of 10 μl of D₂O as a lock signal. Resonances in the top spectrum are those that are in contact with water, and thus at the soil–water interface. **(Bottom)** Same sample as top, but freeze-dried and swollen in DMSO-d₆. Note that DMSO is an excellent swelling solvent and penetrates into both the polar and hydrophobic domains in NOM (Simpson et al., 2001b).

Rozsah velikostí

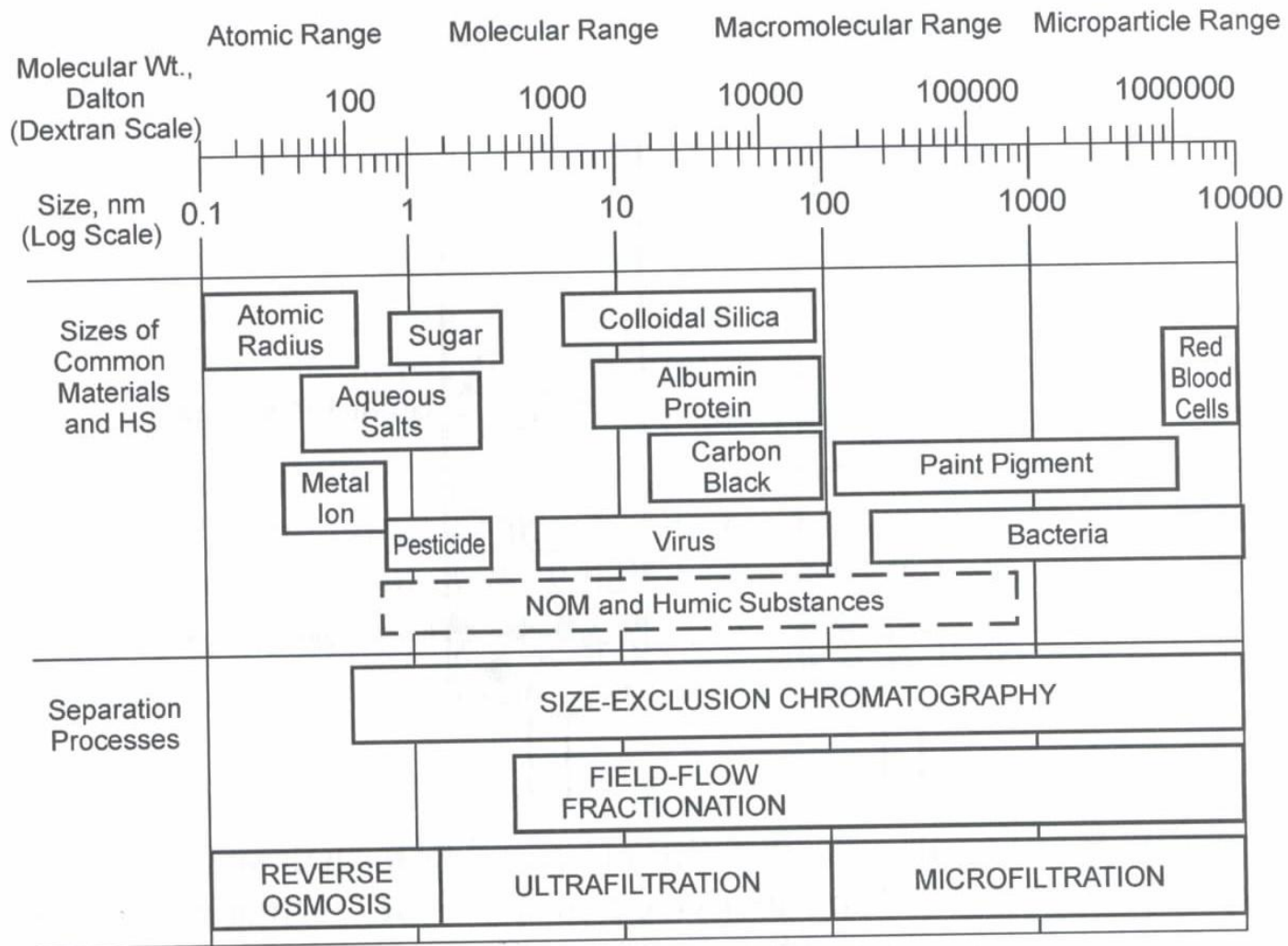
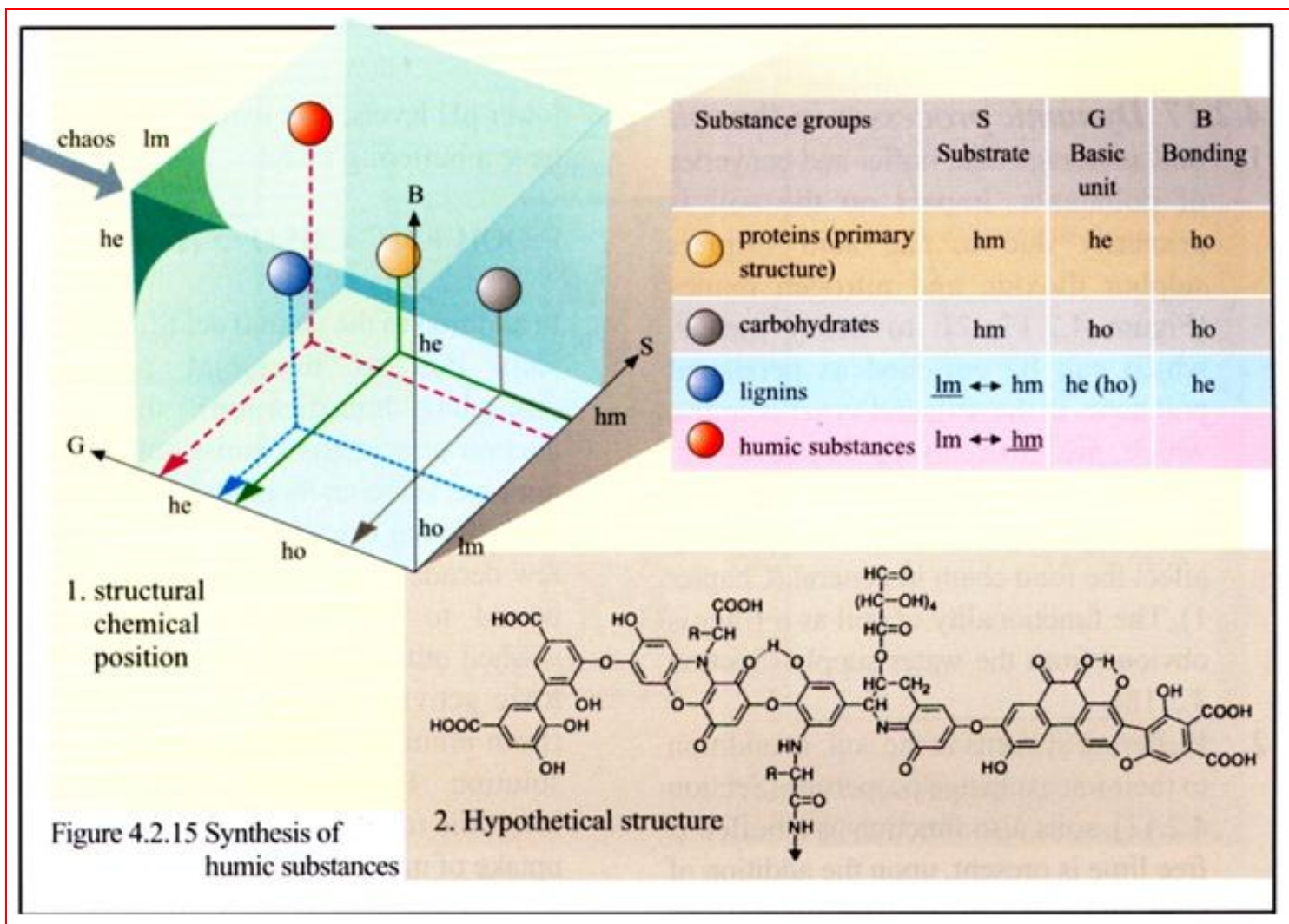
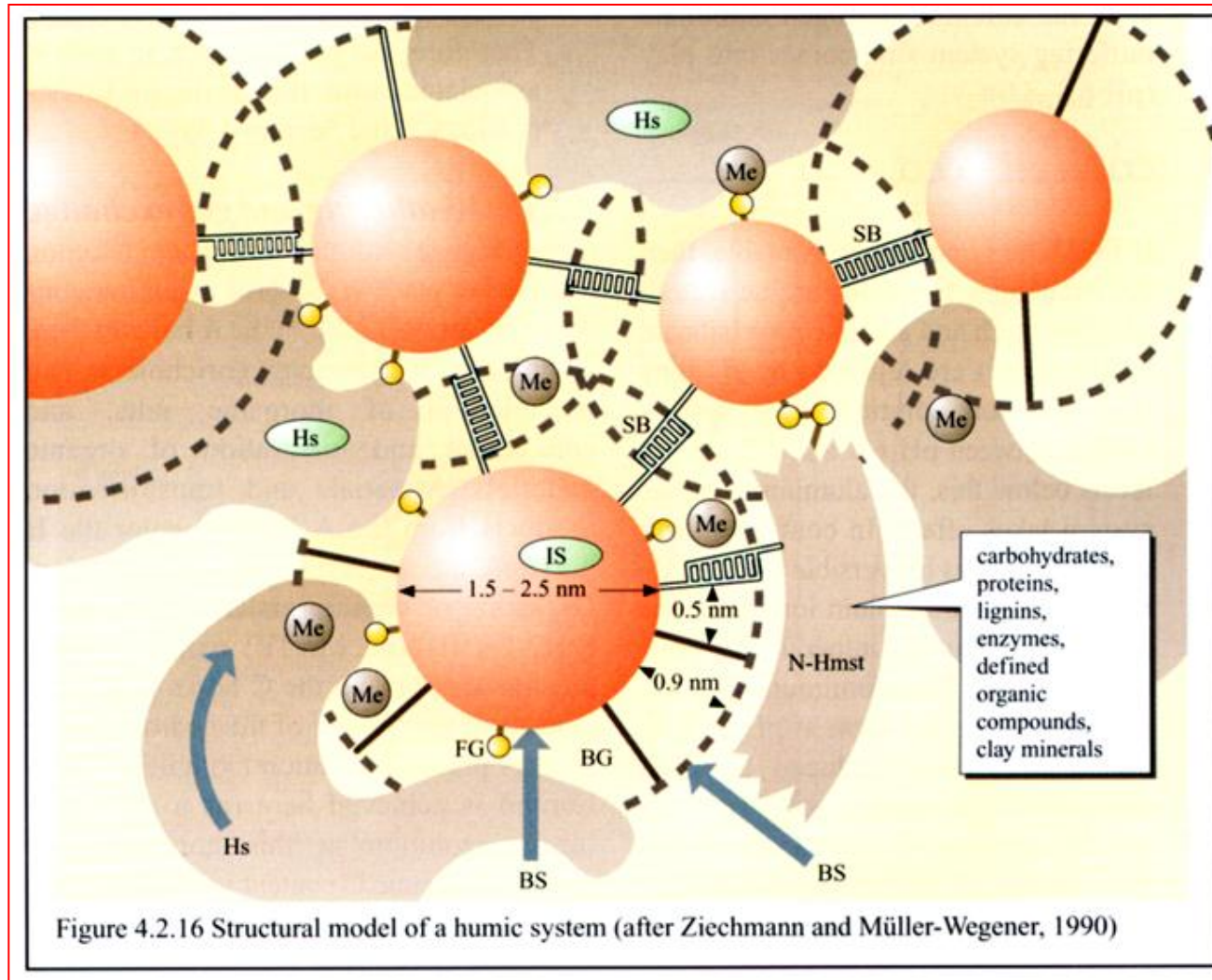


Figure 13.1. Size range of common materials, conversion scale between molecular size and weight based on the dextran scale, and separation range of different analytical methods.

Potenciální struktura huminových kyselin



Strukturní model huminových kyselin



Vlastnosti huminových látek

Negativně nabité, povrchově aktivní makromolekuly.
Záporný náboj HL je dán přítomností karboxylových a hydroxylových skupin.

Příčiny kyselosti HL

1) Přítomnost karboxylových a hydroxylových skupin

Karboxylové skupiny – silně kyselé ($K = 10^{-2} - 10^{-5}$)

Hydroxylové skupiny – slabě kyselé ($K = 10^{-9} - 10^{-11}$)

1) Rozmístění karboxylových skupin v molekule

2) Polarita (dipólový moment) molekul HL

S rostoucí polaritou molekul HL roste i jejich kyselost

Strukturní model huminových kyselin

Tvorba komplexů s vícemocnými kationty je dána:

- 1) Přítomností karboxylových a fenolových skupin
 - 2) Aromaticitou molekul
- ↙ Schopnost tvorby komplexů se zvyšuje se vzrůstající hodnotou pH
 - ↙ Rozpustnost komplexů závisí na hmotnostním poměru kationtů a HL – se vzrůstajícím zastoupením kationtů klesá rozpustnost komplexů

Huminové vody:

- ↙ Vysoký obsah HL
- ↙ Nízký obsah Ca, Mg a HCO_3^- iontů
- ↙ Nízká hodnota pH a KNK4,5
- ↙ Často zvýšený obsah Al
- ↙ Nevyhovující sensorické vlastnosti vody (barva, chuť, zápach)

Strukturní interakce huminových látek a jílových minerálů

↪ komplexace živin a polutantů

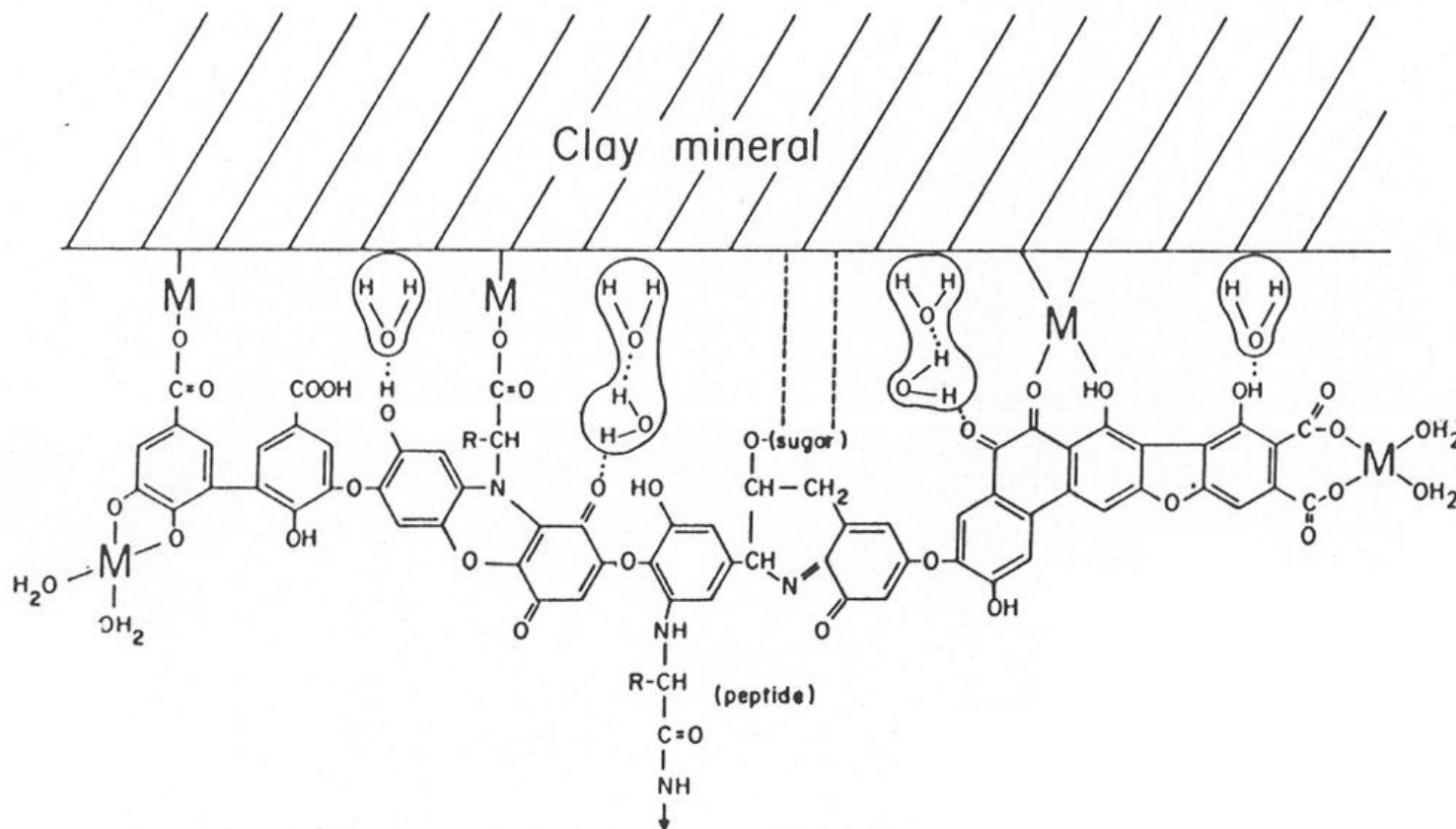


FIGURE 9. Schematic diagram of a clay-humate complex in soil. From Stevenson and Arda-kani (1972).



INVESTICE DO ROZVOJE VZDĚLÁVÁNÍ

**Inovace tohoto předmětu je spolufinancována
Evropským sociálním fondem a státním rozpočtem
České republiky**